

**UJI AKTIVITAS ANTIOKSIDAN KITOSAN DARI  
CANGKANG YUTUK (*Emerita Sp*) MENGGUNAKAN  
METODE ABTS (2,2 azinobis (3-ethylbenzotiazolin)-6-asam  
sulfonat) DAN DPPH (2,2-difenil-1-picrylhydrazyl)**

**SKRIPSI**

Disusun Untuk Memenuhi Sebagian Persyaratan Mencapai Derajat Sarjana  
Farmasi



**Diajukan Oleh:  
Zalsa Billa  
NIM: C12019061**

**PROGRAM STUDI FARMASI PROGRAM SARJANA**

**FAKULTAS ILMU KESEHATAN**

**UNIVERSITAS MUHAMMADIYAH GOMBONG**

**2023**

**UJI AKTIVITAS ANTIOKSIDAN KITOSAN DARI  
CANGKANG YUTUK (*Emerita Sp*) MENGGUNAKAN  
METODE ABTS (2,2 *azinobis (3-ethylbenzotiazolin)-6-asam*  
*sulfonat*) DAN DPPH (2-2-*difenil-1-picrylhydrazyl*)**

**SKRIPSI**

Disusun Untuk Memenuhi Sebagian Persyaratan Mencapai Derajat Sarjana  
Farmasi



**Diajukan Oleh:**

**Zalsa Billa**

**NIM: C12019061**

**PROGRAM STUDI FARMASI PROGRAM SARJANA**

**FAKULTAS ILMU KESEHATAN**

**UNIVERSITAS MUHAMMADIYAH GOMBONG**

**2023**

## LEMBAR PERSETUJUAN

### UJI AKTIVITAS ANTIOKSIDAN KITOSAN DARI CANGKANG YUTUK

(*Emerita Sp*) MENGGUNAKAN METODE ABTS (2,2 azinobis (3-  
etilbenzotiazolin)-6-asam sulfonat) DAN DPPH (2,2-difenil-1-picrylhydrazyl)

Telah disetujui dan dinyatakan telah memenuhi syarat untuk diujikan pada tanggal

31 Juli 2023

Yang dipersiapkan dan disusun oleh:

Zalsa Billa

NIM : C12019061

#### Susunan Tim Pembimbing

1. apt. Laeli Fitriyati, M. Farm (Pembimbing 1)  
2. apt. Naelaz Zukhruf W. K, M.Pharm., Sci(Pembimbing 2)

(.....)  
(.....)

Mengetahui,

Ketua Program Studi Farmasi Program Sarjana

Fakultas Ilmu Kesehatan

Universitas Muhammadiyah Gombong



(apt. Naelaz Zukhruf Wakhidatul Kiromah, M.Pharm., Sci)

## LEMBAR PENGESAHAN

UJI AKTIVITAS ANTIOKSIDAN KITOSAN DARI CANGKANG YUTUK  
*(Emerita Sp)* MENGGUNAKAN METODE ABTS (*2,2 azinobis (3-  
etilbenzotiazolin)-6-asam sulfonat*) DAN DPPH (*2-2-difenil-1-picrylhydrazyl*)

Yang dipersiapkan dan disusun oleh:

Zalsa Billa

NIM : C12019043

Telah dipertahankan di depan Tim Penguji pada tanggal 31 Juli 2023

### Susunan Tim Pembimbing

- |  |                 |
|--|-----------------|
| 1. apt. Titi Pudji Rahayu, M. Farm         | (Ketua Penguji) |
| 2. apt. Laeli Fitriyati, M. Farm           | (Pembimbing 1)  |
| 3. apt. Naelaz Zukhruf W. K, M.Pharm., Sci | (Pembimbing 2)  |

(.....)  
(.....)  
(.....)

Mengetahui,

Ketua Program Studi Farmasi Program Sarjana

Fakultas Ilmu Kesehatan

Universitas Muhammadiyah Gombong

(apt. Naelaz Zukhruf Wakhidatul Kiromah, M.Pharm., Sci)

## HALAMAN PERNYATAAN KEASLIAN PENELITIAN

Yang bertanda tangan di bawah ini:

Nama : Zalsa Billa

NIM : C12019061

Program Studi : S1 Farmasi

Judul Penelitian : Uji Aktivitas Antioksidan Kitosan dari Cangkang Yutuk (*Emerita Sp*) Menggunakan Metode ABTS (2,2 *azinobis (3- etilbenzotiazolin)-6-asam sulfonat*) dan DPPH (2-2-difenil-1- *picrylhydrazyl*)

Menyatakan dengan sebenarnya bahwa penelitian ini adalah hasil karya sendiri. Sepanjang pengetahuan saya, skripsi ini tidak terdapat unsur materi yang pernah dipublikasikan atau ditulis orang lain atau digunakan untuk menyelesaikan studi di perguruan tinggi lain, kecuali pada bagian tertentu sebagai bahan acuan dan ditulis dalam daftar pustaka.

Demikian surat pernyataan ini saya buat dengan sebenar-benarnya dan dapat digunakan sebagaimana mestinya.

Gombong, 31 Juli 2023

Yang menyatakan



Zalsa Billa

NIM.C12019061

## HALAMAN BEBAS PLAGIARISME

Saya yang bertandatangan di bawah ini:

Nama : Zalsa Billa  
Tempat, Tanggal Lahir : Kebumen, 26 Desember 2000  
Alamat : Bonjok Kidul RT:03/01 Adimulyo, Kebumen  
Nomor telepon : 087710453775  
Alamat Email : [bilazalsa829@gmail.com](mailto:bilazalsa829@gmail.com)

Dengan ini menyatakan bahwa sesungguhnya skripsi saya yang berjudul:

**Uji Aktivitas Antioksidan Kitosan dari Cangkang Yutuk (*Emerita Sp*)**

**Menggunakan Metode ABTS (2,2 azinobis (3-etilbenzotiazolin)-6-asam sulfonat)  
dan DPPH (2-2-difenil-1-picrylhydrazyl)**

**Bebas dari plagiarisme dan bukan hasil karya orang lain.**

Apabila dikemudian hari ditemukan seluruh atau sebagian dari skripsi tersebut terindikasi plagiarisme, saya bersedia menerima sanksi sesuai peraturan perundang-undangan yang berlaku.

Demikian pernyataan ini dibuat dalam keadaan sadar tanpa unsur paksaan dari siapapun.

Gombong, 31 Juli 2023

Yang menyatakan



Zalsa Billa  
NIM.C12019061

## HALAMAN PERSETUJUAN PUBLIKASI

Sebagai civitas akademika Universitas Muhammadiyah Gombong, saya yang bertanda tangan di bawah ini:

Nama : Zalsa Billa

NIM : C12019061

Program Studi : S1 Farmasi

Jenis Karya : Skripsi

Demi mengembangkan ilmu pengetahuan, menyetujui memberikan kepada Universitas Muhammadiyah Gombong Hak Bebas Royalti Noneksklusif (*Non Exclusive Royalty-Free Right*) atas skripsi saya yang berjudul:

**Uji Aktivitas Antioksidan Kitosan dari Cangkang Yutuk (*Emerita Sp*)**

**Menggunakan Metode ABTS (2,2 azinobis (3-etilbenzotiazolin)-6-asam sulfonat)  
dan DPPH (2-2-difenil-1-picrylhydrazyl)**

Beserta perangkat yang ada (bila diperlukan). Dengan Hak Bebas Royalti Nonekslusif ini Universitas Muhammadiyah Gombong berhak menyimpan, mengalih media/formatkan, mengelola dalam bentuk pangkalan data (*database*), merawat dan mempublikasikan skripsi saya selama masih tetap mencantumkan nama saya sebagai penulis/pencipta dan sebagai pemilik Hak Cipta. Demikian surat pernyataan ini saya buat dengan sebenar-benarnya

Gombong, 31 Juli 2023

Yang menyatakan



Zalsa Billa

NIM.C12019061

## KATA PENGANTAR

*Bismillahirrohmanirrohim*

*Assalamu'alaikum Warahmatullahi Wabarakatuh*

Alhamdulillahirobbil'alamin, segala puji dan syukur penulis panjatkan atas kehadiran Allah SWT, karena berkat rahmat dan hidayah-Nya penyusunan skripsi yang berjudul “Uji Aktivitas Antioksidan Kitosan dari Cangkang Yutuk (*Emerita Sp*) Menggunakan Metode ABTS (2,2 *azinobis (3-etilbenzotiazolin)-6-asam sulfonat*) DAN DPPH (2-2-*difenil-1-picrylhydrazyl*)” ini dapat diselesaikan guna memenuhi salah satu persyaratan dalam menyelesaikan Program Studi Farmasi Tingkat Strata-1 (S1) Universitas Muhammadiyah Gombong.

Perjalanan panjang telah penulis lalui dalam rangka menyelesaikan penulisan skripsi ini. Banyak hambatan yang dihadapi dalam penyusunannya, namun berkat kehendak-Nyalah sehingga penulis berhasil menyelesaikan skripsi ini. Oleh karena itu, dengan penuh kerendahan hati, pada kesempatan patutlah kiranya penulis mengucapkan terima kasih kepada:

1. Allah SWT Tuhan semesta alam yang telah memberikan rahmat, nikmat dan hidayah-Nya kepada umatnya, Rasulullah SAW yang sudah menuntun kita dari jalan yang gelap menuju jalan yang terang benderang.
2. Dr. Hj. Herniyatun.,M.Kep.,Sp.Mat selaku Rektor Universitas Muhammadiyah Gombong.
3. Eka Riyanti, M.Kep.,Sp.Kep.Mat selaku Dekan Universitas Muhammadiyah Gombong.
4. apt. Naelaz Zukhruf Wakhidatul Kiromah, M.Pharm.,Sci selaku Ketua Program Studi Farmasi Program Sarjana Universitas Muhammadiyah Gombong serta dosen pembimbing kedua yang banyak memberikan masukan ilmu, waktu, dan semangat kepada penulis dalam proses penyusunan skripsi ini.
5. apt. Laeli Fitriyati, M.Farm. selaku pembimbing pertama yang banyak memberikan masukan ilmu, waktu, dan semangat kepada penulis dalam proses penyusunan skripsi ini.

6. apt. Titi Pudji Rahayu, M.Farm selaku dosen Pembimbing Akademik yang banyak memberikan masukan ilmu, waktu, dan semangat kepada penulis dalam proses penyusunan skripsi ini.
7. Kedua orang tua tercinta, bapak Sugondo dan ibu Erna dan segenap keluarga tercinta yang selalu mendoakan dan memberi dukungan serta semangat dalam pembuatan skripsi ini.
8. Teman-temanku yang senantiasa meluangkan waktu dan pikiran untuk membantu dalam penyelesaian penyusunan skripsi ini.

Penulis menyadari adanya kekurangan dalam penyusunan skripsi penelitian ini. Besar harapan penulis akan saran dan kritik yang bersifat membangun demi kesempurnaan dan perbaikan sehingga dapat dijadikan acuan tindak lanjut penelitian dan bermanfaat bagi semua khususnya bidang kefarmasiaan. Aamiin  
*Wassalamu'alaikum Warrahmatullahi Wabarakatuh*

Gombong, 31 Juli 2023

Penulis



Zalsa Billa

## **HALAMAN PERSEMBAHAN**

Alhamdulillahi robbil'alamin, sujud syukur kusembahkan kepada-Mu ya Allah. Tuhan yang Maha Agung dan Maha Tinggi, atas ridho-Mu sehingga saya bisa sampai dititik ini. Semoga pencapaian ini menjadi langkah awal masa depanku dalam meraih cita-cita dan kemajuan diri serta tentunya dapat bermanfaat untuk orang lain.

Persembahkan tugas akhir ini dan rasa terimakasih saya ucapkan untuk:

1. Kedua orang tua saya yang telah memberikan dukungan penuh baik moril maupun materil serta doa yang tak pernah henti selalu mengiringi setiap langkah saya dalam memulai maupun menyelesaikan pendidikan ini.
2. Adik-adik serta saudara-saudara yang telah memberikan dukungan dan doa untuk mencapai keberhasilan ini.
3. Dosen pembimbing ibu apt. Laeli Fitriyati., M.Farm dan ibu apt. Naelaz Zukhruf W.K., M.Pharm.,Sci yang dengan sabar memberikan bimbingan, arahan dan nasehat sehingga penulisan skripsi ini dapat terselesaikan tepat waktu.
4. Laboran laboratorium farmasi Universitas Muhammadiyah Gombong yang selalu siap membantu saya selama melaksanakan penelitian.
5. Semua teman dan sahabat yang telah membantu terlaksananya penelitian ini serta yang telah berkenan mendengarkan keluh kesah selama berlangsungnya penyusunan skripsi ini.
6. Terimakasih untuk Universitas Muhammadiyah Gombong.

# **PROGRAM STUDI FARMASI PROGRAM SARJANA**

**FAKULTAS ILMU KESEHATAN**

**UNIVERSITAS MUHAMMADIYAH GOMBONG**

**Skripsi, 31 Juli 2023**

**Zalsa Billa<sup>1)</sup>, Laeli Fitriyati<sup>2)</sup>, Naelaz Zukhruf Wakhidatul Kiromah<sup>3)</sup>**

## **ABSTRAK**

**UJI AKTIVITAS ANTIOKSIDAN KITOSAN DARI CANGKANG YUTUK (*Emerita Sp*) MENGGUNAKAN METODE ABTS (2,2 azinobis (3-etylbenzotiazolin)-6-asam sulfonat) dan DPPH (2-2-difenil-1-picrylhydrazyl)**

**Latar Belakang :** Radikal bebas merupakan salah satu penyebab penyakit degeneratif. Oleh karena itu, radikal bebas dapat dicegah dengan penggunaan antioksidan. Yutuk merupakan salah satu sumber alam dari laut yang mengandung kitosan sebagai antiokidan. Pengujian antioksidan dapat menggunakan metode ABTS dan DPPH.

**Tujuan Penelitian :** Untuk mengetahui aktivitas antioksidan kitosan dari cangkang yutuk menggunakan metode ABTS dan DPPH.

**Metode Penelitian :** Uji fisika kitosan dilakukan dengan uji organoleptik, uji air dan uji tabung serta dilakukan uji analisis FTIR. Uji aktivitas antioksidan dilakukan dengan menggunakan metode ABTS dan DPPH. Data yang dihasilkan adalah nilai IC<sub>50</sub>.

**Hasil Penelitian :** hasil uji fisika kitosan dilakukan dengan uji organoleptik warna putih kecoklatan, berbentuk serpihan atau bubuk halus, uji air menunjukkan hasil 1,4188% dan uji kadar abu menunjukkan 3,4332 %. Hasil uji analisis FTIR kitosan dari cangkang yutuk ditandai dengan adanya gugus amida dan hidroksil dengan nilai derajat deasetilasi sebesar 57,62%. Hasil uji aktivitas antioksidan kitosan dari cangkang yutuk dengan metode ABTS nilai IC<sub>50</sub> 190,48 ppm dan DPPH sebesar 144,15 ppm.

**Kesimpulan :** Kitosan cangkang yutuk memiliki aktivitas antioksidan yang lemah pada metode ABTS sedangkan kitosan dengan cangkang yutuk memiliki aktivitas antioksidan yang sedang menggunakan metode DPPH. Metode DPPH menghasilkan nilai IC<sub>50</sub> lebih baik daripada ABTS.

**Saran :** Perlu dilakukan penelitian selanjutnya pada proses deasetilasi supaya mendapatkan kitosan yang sempurna dengan derajat deasetilasi diatas 70% dengan memperhatikan suhu, waktu maupun konsentrasi NaOH yang digunakan dan perlu dilakukan uji aktivitas antioksidan menggunakan metode lain supaya mendapatkan hasil aktivitas antioksidan kitosan dari cangkang yutuk yang lebih baik.

**Kata Kunci :** *Radikal bebas, antioksidan, kitosan ABTS, DPPH*

<sup>1</sup> Mahasiswa Universitas Muhammadiyah Gombong

<sup>2</sup> Dosen Universitas Muhammadiyah Gombong

<sup>3</sup> Dosen Universitas Muhammadiyah Gombong

**UNDERGRADUATE PHARMACY STUDY PROGRAM**  
**FACULTY OF HEALTH SCIENCES**  
**UNIVERSITY OF MUHAMMADIYAH GOMBONG**  
**Thesis, July 31, 2023**  
**Zalsa Billa<sup>1)</sup>, Laeli Fitriyati<sup>2)</sup>, Naelaz Zukhruf Wakhidatul Kiromah<sup>3)</sup>**

**ABSTRACT**

**ANTIOXIDANT ACTIVITY TEST OF CHITOSAN FROM MOLE CRAB SHELL (*Emerita Sp*) USING ABTS (2,2 azinobis (3-ethylbenzothiazoline)-6-sulfonic acid) and DPPH (2-2 diphenyl-1-picrylhydrazyl) METHOD**

**Background:** Free disease is one of the causes of degenerative diseases. Therefore, free radicals can be prevented with the use of antioxidants. Yutuk is one of the natural sources of the sea that contains *chitosan* as an antiochan. Antioxidant testing can use ABTS and DPPH methods.

**Research Objective:** To determine the antioxidant activity of *chitosan* from mole crab shells using *ABTS* and *DPPH* methods.

**Research Method:** *Chitosan* physical test is carried out by organoleptic test, water test and tube test and *FTIR* analysis test is carried out. Antioxidant activity tests were conducted using *ABTS* and *DPPH* methods. The resulting data is an IC value of  $_{50}$ .

**Research Results:** *chitosan* physical test results were carried out with brownish-white organoleptic tests, in the form of flakes or fine powder, water tests showed results of 1.4188% and ash content tests showed 3.4332%. The results of the *FTIR* analysis test from the mole crab shell were marked by the presence of amide and hydroxyl groups with a deacetylation degree value of 57.62%. The results of the *chitosan* antioxidant activity test from mole crab shells with the *ABTS* method IC $_{50}$  value of 190.48 ppm and *DPPH* of 144.15 ppm.

**Conclusion:** *Chitosan* with mole crab shell has weak antioxidant activity in *ABTS* method while *chitosan* with mole crab shell has antioxidant activity that is using *DPPH* method. The *DPPH* method produces IC values of  $_{50}$  better than *ABTS*.

**Suggestion:** Further research needs to be done on the deacetylation process in order to get perfect *chitosan* with a degree of deacetylation above 70% by taking into account the temperature, time and concentration of NaOH used and it is necessary to test antioxidant activity using other methods in order to get better results of *chitosan* antioxidant activity from mole crab shells.

**Keywords :** *Free radicals, antioxidants, chitosan ABTS, DPPH*

---

<sup>1</sup> Student of Universitas Muhammadiyah Gombong

<sup>2</sup> Lecturer of Universitas Muhammadiyah Gombong

<sup>3</sup> Lecturer of Universitas Muhammadiyah Gombong

## DAFTAR ISI

<b>HALAMAN JUDUL .....</b>	<b>i</b>
<b>LEMBAR PERSETUJUAN .....</b>	<b>ii</b>
<b>LEMBAR PENGESAHAN .....</b>	<b>iii</b>
<b>HALAMAN PERNYATAAN KEASLIAN PENELITIAN.....</b>	<b>iv</b>
<b>HALAMAN BEBAS PLAGIARISME.....</b>	<b>v</b>
<b>HALAMAN PERSETUJUAN PUBLIKASI .....</b>	<b>vi</b>
<b>HALAMAN PERSEMBAHAN .....</b>	<b>ix</b>
<b>ABSTRAK .....</b>	<b>x</b>
<b>ABSTRACT .....</b>	<b>xi</b>
<b>DAFTAR ISI.....</b>	<b>xii</b>
<b>DAFTAR GAMBAR.....</b>	<b>xv</b>
<b>DAFTAR TABEL .....</b>	<b>xvi</b>
<b>BAB I PENDAHULUAN.....</b>	<b>1</b>
1.1 Latar Belakang.....	1
1.2 Rumusan Masalah .....	3
1.3 Tujuan Penelitian.....	3
1.3.1 Tujuan Umum .....	3
1.3.2 Tujuan Khusus .....	4
1.4 Manfaat Penelitian .....	4
1.4.1 Bagi pengembangan ilmu .....	4
1.4.2 Bagi praktisi .....	4
1.4.3 Bagi Masyarakat .....	4
1.5 Keaslian Penelitian .....	4
<b>BAB II TINJAUAN PUSTAKA.....</b>	<b>6</b>
2.1 Tinjauan Teori .....	6
2.1.1 Radikal Bebas .....	6
2.1.2 Antioksidan.....	7
2.1.3 Kitosan .....	8
2.1.4 Yutuk ( <i>Emerita Sp.</i> ) .....	9

2.1.5 Simplisia .....	11
2.1.6 Pembuatan Kitosan .....	13
2.1.7 Pengujian Sifat Fisika Kitosan.....	14
2.1.8 Vitamin C.....	15
2.1.9 Spektrofotometri Ultra Violet-Visible ( <i>UV-Vis</i> ).....	15
2.1.10 <i>Fourier Transform Infra Red</i> (FTIR) .....	16
2.1.11 Metode Analisis Aktivitas Antioksidan.....	17
2.2 Kerangka Teori .....	21
2.3 Kerangka Konsep .....	22
2.4 Hipotesis .....	23
<b>BAB III METODE PENELITIAN .....</b>	<b>24</b>
3.1 Rancangan Penelitian .....	24
3.2 Tempat dan Waktu Penelitian .....	24
3.2.1 Tempat Penelitian .....	24
3.2.2 Waktu Penelitian.....	24
3.3 Variabel Penelitian .....	24
3.3.1 Variabel bebas.....	24
3.3.2 Variabel tergantung.....	24
3.3.3 Variabel terkendali.....	24
3.4 Definisi Operasional .....	24
3.5 Instrumen Penelitian .....	25
3.5.1 Alat.....	25
3.5.2 Bahan .....	25
3.6 Teknik Pengumpulan Data .....	26
3.6.1 Pengumpulan Sampel .....	26
3.6.2 Pembuatan Simplisia Yutuk ( <i>Emerita sp.</i> ) .....	26
3.6.3 Pembuatan Kitosan Yutuk ( <i>Emerita sp.</i> ) .....	26
3.6.4 Pengujian Sifat Fisika Kitosan.....	27
3.6.5 Identifikasi Senyawa Kitosan Menggunakan <i>Fourier Transform Infra Red</i> (FTIR) .....	28
3.6.6 Uji Aktivitas Antioksidan dengan Metode ABTS .....	28

3.6.7 Uji Aktivitas Antioksidan Metode DPPH.....	29
3.7 Analisis Data .....	31
3.7.1 Perhitungan rendemen (Imtihani <i>et al.</i> , 2020) .....	31
3.7.2 Uji Kadar Air (Imtihani <i>et al.</i> , 2020) .....	31
3.7.3 Uji Kadar Abu (Imtihani <i>et al.</i> , 2020) .....	31
3.7.4 Uji Analisis FTIR.....	31
3.7.5 Pengujian Antioksidan.....	32
3.9 Pengolahan Data.....	32
<b>BAB IV HASIL DAN PEMBAHASAN .....</b>	<b>33</b>
4.1.1 Pembuatan Simplisia Cangkang Yutuk ( <i>Emerita sp.</i> ) .....	33
4.1.2 Penyerbukan Simplisia Cangkang Yutuk ( <i>Emerita sp.</i> ) .....	33
4.1.3 Pembuatan Kitosan Cangkang Yutuk ( <i>Emerita sp.</i> ) .....	33
4.1.4 Pengujian Sifat Fisika Kitosan.....	33
4.1.5 Pengujian FTIR ( <i>Fourier Transform Infra Red</i> ).....	34
4.1.6 Uji Aktivitas Antioksidan dengan Metode ABTS .....	35
4.1.7 Uji Aktivitas Antioksidan dengan Metode DPPH .....	37
4.2 Pembahasan .....	39
4.3 Keterbatasan Penelitian .....	49
<b>BAB V KESIMPULAN DAN SARAN .....</b>	<b>50</b>
5.1 Kesimpulan.....	50
5.2 Saran .....	50
<b>LAMPIRAN.....</b>	<b>59</b>

## DAFTAR GAMBAR

<b>Gambar 2. 1</b> Antioksidan melindungi tubuh dari radikal bebas .....	7
<b>Gambar 2. 2</b> Struktur Senyawa Kitin dan Kitosan .....	8
<b>Gambar 2. 3</b> Yutuk (Emerita Sp.).....	10
<b>Gambar 2. 4</b> Struktur Kimia Vitamin C (Asam Askorbat).....	15
<b>Gambar 2. 5</b> Reaksi antioksidan dengan ABTS .....	18
<b>Gambar 2. 6</b> Kerangka Alur Kerangka Teori .....	21
<b>Gambar 2. 7</b> Kerangka Konsep Penelitian.....	22
<b>Gambar 4. 1</b> Pengujian FTIR (Fourier Transform Infra Red) .....	34
<b>Gambar 4. 2</b> Kurva Panjang Gelombang Maksimum .....	35
<b>Gambar 4. 3</b> Uji Aktivitas Antioksidan Vitamin C .....	36
<b>Gambar 4. 4</b> Uji Aktivitas Antioksidan ABTS .....	36
<b>Gambar 4. 5</b> Kurva Panjang Gelombang Maksimum .....	37
<b>Gambar 4. 6</b> Uji Aktivitas Antioksidan Vitamin C .....	38
<b>Gambar 4. 7</b> Uji Aktivitas Antioksidan DPPH .....	38

## DAFTAR TABEL

<b>Tabel 1. 1</b> Keaslian Penelitian .....	4
<b>Tabel 2. 1</b> Pembagian Daerah Spektrofotometer IR.....	17
<b>Tabel 2. 2</b> Karakteristik Spektrum FTIR Kitosan .....	17
<b>Tabel 2. 3</b> Klasifikasi nilai IC <sub>50</sub> .....	18
<b>Tabel 3. 1</b> Definisi Operasional.....	24
<b>Tabel 4. 1</b> Pembuatan Simplisia Cangkang Yutuk (Emerita sp.) .....	33
<b>Tabel 4. 2</b> Penyerbukan Simplisia Cangkang Yutuk (Emerita sp.) .....	33
<b>Tabel 4. 3</b> Pembuatan Kitosan Cangkang Yutuk (Emerita sp.).....	33
<b>Tabel 4. 4</b> Pengujian Sifat Fisika Kitosan .....	33
<b>Tabel 4. 5</b> Hasil Uji FTIR.....	34
<b>Tabel 4. 6</b> Hasil Nilai Derajat Deasetilisasi Kitosan .....	34
<b>Tabel 4. 7</b> Hasil Penentuang Panjang Gelombang Maksimum ABTS .....	35
<b>Tabel 4. 8</b> Hasil Uji Aktivitas Antioksidan Vitamin C .....	35
<b>Tabel 4. 9</b> Hasil Uji Aktivitas Antioksidan Kitosan.....	36
<b>Tabel 4. 10</b> Hasil Penentuang Panjang Gelombang Maksimum DPPH.....	37
<b>Tabel 4. 11</b> Hasil Uji Aktivitas Antioksidan Vitamin C .....	37
<b>Tabel 4. 12</b> Hasil Uji Aktivitas Antioksidan Kitosan.....	38

## **BAB I**

### **PENDAHULUAN**

#### **1.1 Latar Belakang**

Penyakit dapat disebabkan oleh gaya hidup yang tidak sehat. Penyakit degeneratif disebabkan oleh paparan radikal bebas yang berlebihan pada tubuh. Oksidan juga dikenal sebagai radikal bebas adalah atom atau molekul yang tidak stabil, sangat reaktif yang memiliki satu atau lebih elektron dan bereaksi dengan memperoleh sepasang elektron disekitarnya untuk mencapai kestabilan (Dwimayasanti, 2018). Radikal bebas dapat berasal dari dalam tubuh melalui proses metabolisme normal, tetapi dapat juga berasal dari luar tubuh, misalnya dari paparan radiasi UV, polusi udara dari kendaraan bermotor, asap rokok, atau makanan dan minuman yang mengandung bahan kimia yang tinggi (Ulfie Abdul Rahman Oey, 2022). Oleh karena itu, radikal bebas berbahaya bagi tubuh dan pembentukan radikal bebas dapat dicegah dengan penggunaan antioksidan (Mangkasa *et al.*, 2018)

Antioksidan merupakan senyawa yang dapat menetralkan radikal bebas dengan cara mendonorkan elektron. Antioksidan dapat menghambat kerusakan yang dilakukan oleh radikal bebas pada sel normal, protein dan lemak (Apriani & Pratiwi, 2021). Bahan kimia seperti BHA (*buthylated hydroxyl tolueuce*), TBHQ (*tertiary butylhydroquinone*), dan PG (*propyl gallate*). Pemakaian jangka panjang, bahan kimia ini diketahui menyebabkan kerusakan hati dan memiliki efek toksik dan karsinogenik pada tubuh manusia (A. dwi Puspitasari, 2019). Antioksidan alami diperoleh dari sumber alami di darat dan laut, salah satu yang berasal dari laut yaitu kitosan (Kurniasih, Purwati, & Dewi, 2018).

Kitosan memiliki berbagai aktivitas farmakologi yaitu antibakteri, antioksidan, antihiperglikemik, antimalaria, antiulcer, antifungi, dan antitoxoplasma (Marieta & Musfiroh, 2019). Kitosan memiliki aktivitas antioksidan dengan mengikat gugus radikal OH<sup>+</sup> dari proses oksidasi lipid

bereaksi dengan ion hidrogen dari gugus ion ammonium ( $\text{NH}^{3+}$ ) kitosan dan senyawa antioksidan molekuler yang lebih stabil (Sari et al., 2013). Kitosan merupakan polisakarida dibuat dari kitin yang terkandung dalam beberapa makhluk hidup seperti udang, kepiting, kerang, serangga, *yeast* dan undur-undur laut (Fadli et al., 2017) dan (Marieta & Musfiroh, 2019).

Undur-undur laut biasanya disebut yutuk. Yutuk merupakan salah satu bahan yang banyak dimanfaatkan sebagai umpan untuk memancing, pakan ternak dan mengolahnya menjadi makanan ringan seperti rempeyek (Witriansyah et al., 2019). Yutuk di Indonesia (*Emerita sp.*) berada di pantai Barat Sumatera, pantai Selatan Jawa, pantai Sulawesi dan di Selatan. Sebaran Yutuk (*Emerita sp.*) di pantai selatan Jawa banyak dijumpai di Yogyakarta (Provinsi Bantul dan Kulonprogo), wilayah pesisir selatan dari pantai pesisir selatan provinsi Cilacap hingga pantai pesisir selatan provinsi Kebumen (Witriansyah et al., 2019). Kabupaten Kebumen merupakan salah satu penghasil sumber daya perikanan yang sangat besar, salah satunya adalah yutuk (*Emerita Sp*) (Witriansyah et al., 2019).

Pada penelitian yang dilakukan oleh Dehwie et al., (2021) menunjukkan nilai antioksidan kitosan kulit teripang pasir (*H. scabra*) yaitu 235,37 ppm. Penelitian oleh Widia et al., (2018) kitosan sisik ikan kakatua (*Scarus sp.*) memiliki nilai antioksidan sebesar 304,66 ppm. Menurut penelitian Witriansyah et al., (2018) menunjukkan bahwa derajat deasetilisasi kitosan yutuk (*Emerita sp.*) sebesar 94.3%. Penelitian Selly et al., (2013) menunjukkan bahwa aktivitas antioksidan kitosan dari cangkang udang dengan metode DPPH memperlihatkan hasil yang sedang dengan IC<sub>50</sub> sebesar 131 ppm.

Pengujian antioksidan terdapat beberapa metode diantaranya metode ABTS (2,2 azinobis (3-etilbenzotiazolin)-6-asam sulfonat) dan metode DPPH (2,2-difenil-1-picrylhydrazyl) dimana pengujinya menggunakan spektrofotometri UV-Vis sebagai pengukur absorbansi (Maesaroh et al., 2018). Metode ABTS merupakan metode yang dapat digunakan untuk menentukan konsentrasi antioksidan yang dapat menghambat radikal bebas

sebesar 50% ( $IC_{50}$ ) (Serlahwaty & Sevian, 2019). Penggunaan metode ABTS memiliki kelebihan berupa pengujinya yang sederhana, cepat, efektif, dan mudah diulang (Serlahwaty & Sevian, 2019). Penelitian Rizki, (2020) menunjukkan bahwa aktivitas antioksidan kitosan dari cangkang udang memperlihatkan hasil yang lemah dengan  $IC_{50}$  sebesar 438,92 ppm.

Penggunaan metode DPPH untuk menentukan aktivitas antioksidan parameter  $IC_{50}$  yang digunakan untuk menangkap radikal bebas adalah 50% (Setiawan *et al.*, 2018). Metode DPPH merupakan metode uji aktivitas antioksidan yang banyak digunakan karena sederhana, cepat, mudah, peka dan memerlukan sedikit sampel (Lung & Destiani, 2018). Penelitian Kurniasih, Purwati, Dewi, *et al.*, (2018) menunjukkan bahwa aktivitas antioksidan kitosan dari cangkang udang memperlihatkan hasil yang sedang dengan  $IC_{50}$  sebesar 145,398 ppm.

Penelitian tentang uji aktivitas antioksidan kitosan dari cangkang yutuk di Indonesia belum dilakukan. Sehingga peneliti ingin melakukan penlitian untuk mengetahui aktivitas antioksidan dari kitosan dari cangkang yutuk dengan metode ABTS dan DPPH.

## 1.2 Rumusan Masalah

- 1.2.1 Bagaimana aktivitas antioksidan kitosan dari cangkang yutuk (*emerita sp.*) menggunakan metode ABTS (2,2 azinobis (3-etilbenzotiazolin)-6-asam sulfonat) dan DPPH (2-2-difenil-1-picrylhydrazyl)?
- 1.2.2 Berapa nilai  $IC_{50}$  dari kitosan cangkang yutuk (*emerita sp.*) menggunakan metode ABTS (2,2 azinobis (3-etilbenzotiazolin)-6-asam sulfonat) dan DPPH (2-2-difenil-1-picrylhydrazyl)?

## 1.3 Tujuan Penelitian

- 1.3.1 Tujuan Umum

Penelitian ini bertujuan untuk mengetahui aktivitas antioksidan kitosan dari cangkang yutuk (*emerita sp.*) yang dapat digunakan sebagai alternatif penangkal radikal bebas.

### 1.3.2 Tujuan Khusus

- 1.3.2.1 Untuk mengetahui aktivitas antioksidan kitosan dari cangkang yutuk (*emerita sp.*) menggunakan metode ABTS (2,2 *azinobis (3-etilbenzotiazolin)-6-asam sulfonat*) dan DPPH (2-2-*difenil-1-picrylhydrazyl*).
- 1.3.2.2 Untuk mengetahui nilai IC<sub>50</sub> dari kitosan cangkang yutuk (*emerita sp.*) menggunakan metode ABTS (2,2 *azinobis (3-etilbenzotiazolin)-6-asam sulfonat*) dan DPPH (2-2-*difenil-1-picrylhydrazyl*).

### 1.4 Manfaat Penelitian

Adapun manfaat yang diharapkan dari peneliti sebagai berikut:

#### 1.4.1 Bagi pengembangan ilmu

Pengembangan penelitian mengenai aktivitas antioksidan kitosan dari cangkang yutuk (*Emerita sp.*) menggunakan metode ABTS (2,2 *azinobis (3-etilbenzotiazolin)-6-asam sulfonat*) dan DPPH (2-2-*difenil-1-picrylhydrazyl*).

#### 1.4.2 Bagi praktisi

Memberikan informasi tentang kitosan dari cangkang yutuk (*Emerita sp.*) yang memiliki khasiat sebagai antioksidan alami yang lebih aman, serta dapat dijadikan sebagai referensi untuk penelitian selanjutnya.

#### 1.4.3 Bagi Masyarakat

Diharapkan dapat memberikan informasi ilmiah tentang potensi kitosan cangkang yutuk (*Emerita sp.*) sebagai antioksidan alami yang dapat dipakai luas oleh masyarakat.

### 1.5 Keaslian Penelitian

**Tabel 1. 1** Keaslian Penelitian

Nama Penelitian, Tahun	Judul Penelitian	Metode Penelitian	Hasil Penelitian	Perbedaan dan persamaan dengan penelitian
(Sari et al., 2013)	Aktivitas Antioksidan Kompleks Kitosan Monosakarida	DPPH	Hasil menunjukkan bahwa larutan kitosan	Perbedaan: - Menggunakan sampel cangkang yutuk

<b>Nama Penelitian, Tahun</b>	<b>Judul Penelitian</b>	<b>Metode Penelitian</b>	<b>Hasil Penelitian</b>	<b>Perbedaan dan persamaan dengan penelitian</b>
	( <i>Chitosan Monosaccharides Complex</i> )		tanpa monosakarida dan kompleks kitosan monosakarida dengan nilai IC <sub>50</sub> yaitu sebesar 92-131 ppm.	- Menggunakan dua metode yaitu ABTS dan DPPH Persamaan: - Menggunakan metode DPPH
(Wittriansyah et al., 2018)	Karakterisasi Kitin Dan Kitosan <i>Emerita sp.</i> dari Pantai Pesisir Widarapayung, Cilacap, Jawa Tengah	Isolasi kitin dan kitosan dengan metode demineralisasi, deproteinasi, deasetilasi	Hasil perhitungan derajat deasetilasi kitosan <i>Emerita sp.</i> menunjukkan 94,3%.	Perbedaan: - Uji antioksidan cangkang yutuk - Menggunakan dua metode yaitu ABTS dan DPPH - Menggunakan cangkang yutuk Persamaan: - Menggunakan metode demineralisasi, dan deasetilase
(Wittriansyah et al., 2019)	Aplikasi Kitosan <i>Emerita sp.</i> Sebagai Bahan Pengawet Alternatif pada Ikan Belanak ( <i>Mugil cephalus</i> )	Isolasi kitin dan kitosan dengan metode demineralisasi, deproteinasi, deasetilasi	Hasil perhitungan derajat deasetilasi kitosan <i>Emerita sp.</i> menunjukkan bahwa derajat deasetilasi kitosan 92,5% dan dan menunjukkan aktivitas penghambat pertumbuhan mikroorganisme.	Perbedaan: - Menggunakan cangkang yutuk - Uji antioksidan kitosan cangkang yutuk - Menggunakan dua metode yaitu ABTS dan DPPH Persamaan: - Menggunakan metode demineralisasi, dan deasetilase

## DAFTAR PUSTAKA

- Adisti, S. T. (2020). Metode Analisis Cepat Autentikasi Bubuk Cabai dari Pewarna Sintetik Rhodamin B, Eritrosin B, dan Para Red Menggunakan Fourier Transform Infrared (*FTIR*) Spektroskopi yang Dikombinasikan dengan Kemometrik. *TESIS*. Universitas Muhammadiyah Purwokerto.
- Agustina, S., Swantara, I. M. D., & Suartha, I. N. (2018). Isolasi Kitin, Karakterisasi, dan Sintesis Kitosan Dari Kulit Udang. *Jurnal Kimia*, 9(2), 271–278.
- Amanda, K. T., & Raharjo, S. J. (2022). Potensi Antioksidan Ekstrak Kombinasi Air-Etanol pada Simplisia Selada Air (*Nasturtium officinale* R. Br). *PHARMADEMICA : Jurnal Kefarmasian Dan Gizi*, 1(2), 40–46. <https://doi.org/10.54445/pharmademica.v1i2.13>
- Amanda, L. D. (2022). Pembuatan dan Karakteristik Membran Kitosan dari Kulit Udang Vaname (*Litopenaeus vannamei*). Universitas Islam Negeri Ar-Raniry Banda Aceh.
- Andarina, R., & Djauhari, T. (2017). Antioksidan Dalam Dermatologi. *Jurnal Kedokteran Dan Kesehatan*, 4(1), 39–48.
- Apriani, S., & Pratiwi, F. D. (2021). Aktivitas Antioksidan Ekstrak Bunga Telang (*Clitoria Ternatea* L.) Menggunakan Metode DPPH (2,2 Diphenyl-1-1-Picrylhydrazyl). *Jurnal Ilmiah Kohesi*, 5(3), 83–89. <https://kohesi.sciencemakarioz.org>
- Aprilia, D. (2015). Potensi Kitosan sebagai Agen Antioksidatif pada Hepar yang Diinduksi Plumbum. *Majority*, 4(November), 85–88. <https://juke.kedokteran.unila.ac.id/index.php/majority/article/download/1479/1318>
- Badan Pengawasan Obat dan Makanan Republik Indonesia. (2012). Pedoman teknologi Formulasi Sediaan Berbasis Ekstrak, *Volume 1*. Jakarta.
- Bella, R. N. (2021). Uji Aktivitas Antioksidan Ekstrak Etanol Kulit Buah Pir Ya (*Pyrus bretschneideri* ) dengan Metode ABTS (2,2-Azinobis(3-ethylbenzothiazoline)-6-sulfonic acid). Sekolah Tinggi Ilmu Kesehatan

Nasional Surakarta.

- Cahyadi, W., Gozali, T., & Fachrina, A. (2018). Pengaruh Konsentrasi Gula Stevia dan Penambahan Asam Askorbat Terhadap Karakteristik Koktil Bawang Dayak (*Eleutherine palmifolia*). *Pasundan Food Technology Journal*, 5(2), 154–163.
- Dachriyanus. (2004). Analisis Struktur Senyawa Organik Secara Spektroskopi.
- Dehwie, T., Sumarto, & Dahlia. (2021). Aktivitas Antioksidan Kulit, Kitin dan Kitosan Teripang Pasir (*Holothuria scabra*). *Jurnal Teknologi Dan Industri Pertanian Indonesia*. <https://doi.org/10.17969/jtipi.v13i1.19056>
- Dompeipen, E. J. (2017). Isolasi dan identifikasi kitin dan kitosan dari kulit udang Windu (*Penaeus monodon*) dengan spektroskopi inframerah. *Majalah Biam*, 13(1), 31–41.
- Dompeipen, E. J., Kaimudin, M., & Dewa, R. P. (2016). Isolasi Kitin dan Kitosan dari Limbah Kulit Udang. *Majalah Biam*, 12(01), 32–39.
- Dwimayasantini, R. (2018). Rumput Laut: Antioksidan Alami Penangkal Radikal Bebas. *Oseana*, 43(2), 13  
23.<https://doi.org/10.14203/oseana.2018.vol.43no.2.17>
- Fadli, A., Drastinawati, Alexander, O., & Huda, F. (2017). Disintesis Dari Limbah Industri Udang Kering. *Jurnal Sains Materi Indonesia*, 1, 61–67.
- Fakriah, Kurniasih, E., . A., & . R. (2019). Sosialisasi Bahaya Radikal Bebas Dan Fungsi Antioksidan Alami Bagi Kesehatan. *Jurnal Vokasi*, 3(1), 1.  
<https://doi.org/10.30811/vokasi.v3i1.960>
- Fitriyati, L. (2020). Uji Aktivitas Antioksidan dan Antiaging serta Pemeriksaan Kadar Fenolik Total dan Flavonoid Total Ekstrak Terpurifikasi Kunyit Putih (*Curcuma mangga Val*). In *Thesis.Purwokerto : Universitas Muhammadiyah Purwokerto* (Vol. 1, Issue 1).
- Haryoto, H., & Frista, A. (2019). Aktivitas Antioksidan Ekstrak Etanol, Fraksi Polar, Semipolar dan Non Polar dari Daun Mangrove Kacangan (*Rhizophora apiculata*) dengan Metode DPPH dan FRAP. *Jurnal Sains Dan Kesehatan*, 2(2), 131–138.  
<https://jsk.farmasi.unmul.ac.id/index.php/jsk/article/download/129/119/532>

- Hasanah, M., Maharani, B., & Munarsih, E. (2017). Daya Antioksidan Ekstrak dan Fraksi Daun Kopi Robusta (*Coffea Robusta*) Terhadap Pereaksi DPPH (2,2-difenil-1-pikrilhidrazil). *Indonesian Journal of Pharmaceutical Science and Technology*, 4(2), 42. <https://doi.org/10.15416/ijpst.v4i2.10456>
- Imtihani, H. N., Wahyuono, R. A., & Permatasari, S. N. (2020). Biopolimer Kitosan dan Penggunaannya dalam Formulasi Obat. Surabaya: Penerbit Gianti.
- Irianti, T. T., Sugiyanto, Nuranto, S., & Kuswandi, M. (2017). Antioksidant. Yogyakarta: Penerbit Tatang Arianti.
- Kementrian Kesehatan Republik Indonesia. (2017). Farmakope Herbal Indonesia (615. 1 Ind). <https://doi.org/10.1201/b12934-13>
- Kurniasih, M., Purwati, & Dewi, R. S. (2018). Toxicity tests, antioxidant activity, and antimicrobial activity of chitosan. *IOP Conference Series: Materials Science and Engineering*, 349(1). <https://doi.org/10.1088/1757-899X/349/1/012037>
- Kurniasih, M., Purwati, P., Dewi, R. S., & Fatimah, S. (2018). Uji Aktivitas Antioksidan N-Metil Kitosan Berkelarutan Tinggi. *ALCHEMY Jurnal Penelitian Kimia*, 14(1), 107. <https://doi.org/10.20961/alchemy.14.1.15100.107-118>
- Kurniawati, I. F., & Sutoyo, S. (2021). Review Artikel: Potensi Bunga Tanaman Sukun (*Artocarpus Altilis* [Park.I] Fosberg) Sebagai Bahan Antioksidan Alami. *UNESA Journal of Chemistry*, 10(1), 1–11.
- Lisarni, A. D., Rejeki, E. S., & Suhartinah. (2015). Penetapan Kadar Omega-3 Undur-Undur Laut ( Emerita emeritus ) dalam Bentuk Granul , Bubur , dan Mentah secara Kromatografi Gas. *Jurnal Farmasi Indonesia*, 12(1), 15–22. <http://farmasiindonesia.setiabudi.ac.id/>
- Lukiyono, Y. T., Sudjarw, G. W., Haq, M. N. A., & Mahmiah. (2020). Uji Aktivitas Antioksidan Nanopartikel Kitosan dari Limbah Kulit Udang (*Litopenaeus vannamei*) Menggunakan Metode DPPH. *Prosiding Seminar Nasional Kesehatan*, 1–5.
- Lung, J. K. S., & Destiani, D. P. (2018). Uji Aktivitas Antioksidan Vitamin A, C, E dengan Metode DPPH. *Farmaka Suplemen Volume 15 Nomor 1*.

- Maesaroh, K., Kurnia, D., & Anshori, J. Al. (2018). Perbandingan Metode Uji Aktivitas Antioksidan DPPH, FRAP, dan FIC Terhadap Asam Askorbat, Asam Galat dan Kuersetin. *Chimica et Natura Acta*. <https://google.co.id>
- Mahatmanti, F. W., Kusumastuti, E., Jumaeri, J., Sulistyani, M., Susiyanti, A., Haryati, U., & Dirgantari, P. S. (2022). Pembuatan Kitin Dan Kitosan Dari Limbah Cangkang Udang Sebagai Upaya Memanfaatkan Limbah Menjadi Material Maju. *Inovasi Kimia*, 1, 1–38. <https://doi.org/10.15294/ik.v1i1.60>
- Mangkasa, M. Y., Johnly, A. R., & Audy, D. W. (2018). Uji Fitokimia dan Aktivitas Antioksidan dari Ekstrak Daun Bawang Kucai (*Allium tuberosum Rottl . Ex Spreng*) Menggunakan Spektrofotometer Uv-Vis. *Phamacon Jurnal Ilmiah Farmasi*, 7(4), 12–22.
- Marieta, A., & Musfiroh, I. (2019). Review Artikel : Berbagai Aktivitas Farmakologi dari Senyawa Kitosan. *Farmaka*, 17(2), 105–110.
- Masindi, T., & Herdyastuti, N. (2017). Karakterisasi Kitosan dari Cangkang Kerang Darah (Anadara granosa). *UNESA Journal of Chemistry*, 6(3), 137–142.
- Mulyani, E. (2018). Perbandingan Hasil Penetapan Kadar Vitamin C pada Buah Kiwi (*Actinidia deliciousa*) dengan Menggunakan Metode Iodimetri dan Spektrofotometri UV-Vis. *Jurnal Farmasi, Sains, Dan Kesehatan*, 3(2), 14–17.
- Najihudin, A., Chaerunisaa, A., & Subarnas, A. (2017). Aktivitas Antioksidan Ekstrak dan Fraksi Kulit Batang Trengguli (*Cassia fistula L*) dengan Metode DPPH. *Indonesian Journal of Pharmaceutical Science and Technology*, 4.
- Natalia, D. A., Dharmayanti, N., & Roswita Dewi, F. (2021). Produksi Kitosan dari Cangkang Rajungan (*Portunus sp.*) pada Suhu Ruang. *Jurnal Pengolahan Hasil Perikanan Indonesia*, 24(3), 301–309. <https://doi.org/10.17844/jphpi.v24i3.36635>
- Ngibad, K., & Herawati, D. (2019). Perbandingan Pengukuran Kadar Vitamin C Menggunakan Spektrofotometri Uv-Vis pada Panjang Gelombang Uv dan Visible. *Borneo Journal Of Medical Laboratory Technology*, 1 No 2.
- Parfati, N., Rani, K. C., & Jayani, N. I. E. (2018). Modul Penyiapan Simplisia Kelor (Aspek Produksi, Sanitasi, dan Hygiene). Pemerintahan Kabupaten

Bojonegoro.

- Pratiwi, R. (2018). Mengenal Undur-Undur Laut (*Crustacea: Decapoda: Hippidae*) dan Manfaatnya Bagi Kehidupan. *International Standard of Serial Number Oseana*, 14–26.
- Purbowati, P. (2016). Cangkang Kerang Kampak (*Atrina pectinata*) Melalui Proses Deasetilasi Kitin Secara Bertahap. *Skripsi*, 21.
- Puspitasari, A. dwi. (2019). Aktivitas Antioksidan Perasan Jeruk Manis (*Citrus sinensis*) dan Jeruk Purut (*Citrus hystrix*) Menggunakan Metode ABTS. *Majalah Farmasi Dan Farmakologi*, 23(2), 48–51. <https://doi.org/10.20956/mff.v23i2.6978>
- Puspitasari, E., & Ningsih, I. Y. (2016). Kapasitas Antioksidan Ekstrak Buah Salak(*Salacca zalacca (Gaertn.) Voss*) Varian Gula Pasir Menggunakan Metode Penangkapan Radikal DPPH. *Pharmacy*, 13(01), 116–126.
- Ratna Tri Wulandari. (2021). Uji Antioksidan Ekstrak N-Heksan dari Kulit Umbi Wortel ( *Daucus carota L .* ) dengan Metode DPPH ( 1,1- Difenil-2- Pikrilhidrasil).
- Richard Andrison Sadeli. (2016). Uji Aktivitas Antioksidan dengan Metode DPPH (1,1- diphenyl-2-picrylhydrazyl) Ekstrak Bromelain Buah Nanas (Ananas comosus (L.) Merr.). In *Nature Methods* (Vol. 7, Issue 6). <http://www.ncbi.nlm.nih.gov/pubmed/26849997%0Ahttp://doi.wiley.com/10.1111/jne.12374>
- Rizki, A. D. (2020). Pembuatan Zat Aktif Antioksidan Konjugat Kitosan-Asam Ferulat Menggunakan Inisiator Golongan Alkohol Melalui Metode Grafting Radikal Bebas. *Skripsi. Fakultas Matematika Dan Ilmu Pengetahuan Alam Universitas Islam Indonesia*.
- Sajidah, V., Damayanti, A. Y., & Choiriyah, N. A. (2018). Pengaruh Penambahan Ekstrak Bawang Dayak (*Eleutherine americana Merr.*) pada Aktivitas Antioksidan Nuget Tempe. 2(November), 32–40. *Darussalam Nutrition Journal*
- Salempe, M., Rahma, Z., Nur, S., & Mamada, S. S. (2019). Aktivitas Antioksidan Ekstrak Etanol Daun Beroma ( *Cajanus cajan ( L .)* Milps ). *Majalah Farmasi*

- Dan Farmakologi*, 29–31.
- Sami, F. J., & Rahimah, S. (2015). Uji Aktivitas Antioksidan Ekstrak Metanol Bunga Brokoli (*Brassica oleracea L . var . Italica*) Dengan Metode (2 , 2 azinobis (3-ethylbenzotiazolin ) -6-asam sulfonat). *Jurnal Fitofarmaka Indonesia*, 2(2), 107–110.
- Sari, S. R., Baehaki, A., & Shanti Dwita Lestari. (2013). Aktivitas Antioksidan Kompleks Kitosan Monosakarida (Chitosan Monossacharides Complex). *Jurnal Fishtech*, 2.
- Serlahwaty, D., & Sevian, A. N. (2019). Uji Antioksidan Ekstrak Etanol 96% Kombinasi Buah Strawberry dan Tomat dengan Metode ABTS. *Prosiding Seminar Nasional Tumbuhan Obat Indonesia*, 4(1).
- Setiawan, F., Yunita, O., & Kurniawan, A. (2018). Uji Aktivitas Antioksidan Ekstrak Etanol Kayu Secang (*Caesalpinia sappan*) Menggunakan Metode DPPH, ABTS dan FRAP. *Media Pharmaceutica Indonesiana*, 2(2), 82–89.
- Shalaby, E. A., & Shanab, S. M. M. (2013). Antioxidant compounds, assays of determination mode of action. 8(13), 364–371.  
<https://doi.org/10.5897/AJPP2013>
- Simanjuntak, E. J., & Zulham, Z. (2020). Superoksida Dismutase (*Sod*) Dan Radikal Bebas. *Jurnal Keperawatan Dan Fisioterapi (Jkf)*, 2(2), 124–129.  
<https://doi.org/10.35451/jkf.v2i2.342>
- Suryadinata, R. V. (2018). Pengaruh Radikal Bebas Terhadap Proses Inflamasi pada Penyakit Paru Obstruktif Kronis (*PPOK*). *Amerta Nutrition*, 2(4), 317.  
<https://doi.org/10.20473/amnt.v2i4.2018.317-324>
- Syahara, S., & Vera, Y. (2020). Penyuluhan Pemanfaatan Buah Tomat Sebagai Produk Kosmetik Antioksidan Alami Di Desa Manunggang Julu. *Education and Development Institut*, 8(1), 21–22.
- Tahir, M., Kusuma, A. T., & Ekawati. (2018). Analisis Kadar Likopen dan Vitamin C Buah Jeruk Pamelo (*Citrus maxima(Burm) Merr*) Varietas Daging Merah dan Putih Asal Sulawesi Selatan. *Journal of Current Pharmaceutical Sciences*, 2(1), 2598–2095.
- Tanjung, D. S. (2016). Pemanfaatan Kitosan dari Limbah Cangkang Kerang

Simping (*amusium pleuronectes*) sebagai Koagulan Penjernih Air. Universitas Islam Indonesia Yogyakarta

- Tristantini, D., Ismawati, A., Tegar Pradana, B., & Gabriel Jonathan, J. (2016). Prosiding Seminar Nasional Teknik Kimia “Kejuangan” Pengujian Aktivitas Antioksidan Menggunakan Metode DPPH pada Daun Tanjung (Mimusops elengi L). *Seminar Nasional Teknik Kimia Kejuangan, ISSN 1693-*, 1–6. <http://jurnal.upnyk.ac.id/index.php/kejuangan/article/view/1547>
- Ulfah, S. (2016). “Uji Aktivitas Antioksidan Ekstrak Daun Rambutan (*Nephelium lappaceum* Linn) dengan Metode DPPH (2,2 Difenil-1-Pikrilhidrazil).” *Skripsi*, UIN Syarif Hidayatullah Jakarta.
- Ulfy Abdul Rahman Oey. (2022). PEengaruh Suhu Terhadap Aktivitas Antioksidan dalam Daun Zaitun (*Olea europaea* L.) dengan Metode DPPH. In *Jurnal Sains Alami (Known Nature)* (Vol. 5, Issue 1). <https://doi.org/10.33474/j.sa.v5i1.15927>
- Umaira, M. R. (2019). Uji Kualitatif Kandungan Asam Lemak Babi Pada Lipstik Yang Terdistribusi di Pasar Aceh Menggunakan Fourier Transform Infra Red (*FTIR*). Universitas Islam Negeri Ar-Raniry Darussalam-Banda Aceh.
- Utami, N. F. (2020). Potensi Pengembangan Kopi Robusta (*Coffea Canephora*) di Kabupaten Aceh Tenggara. *Journal Agribusiness Sciences*, 05(01), 33–40.
- Widia, Sukmiwati, M., & Karnila, R. (2018). Potensi Antioksidan pada Kitosan Cangkang Kepiting Bakau (*Scylla serrata*) dengan Penambahan NaOH Berbeda. *Jurnal Perikanan Dan Kelautan*.
- Witriansyah, K., Handayani, M., & Dirgantara, D. (2018). Karakterisasi Kitin Dan Kitosan Emerita sp . Dari Pantai Pesisir. *Jurnal Ilmiah Samudra Akuatika*, 2, 45–51.
- Witriansyah, K., Soedihono, S., & Satriawan, D. (2019). Aplikasi Kitosan Emerita sp. Sebagai Bahan Pengawet Alternatif pada Ikan Belanak (*Mugil cephalus*). *Jurnal Ilmiah Perikanan Dan Kelautan*, 11(1), 34–42. <https://doi.org/10.20473/jipk.v11i1.12458>
- Wulandari, P. (2016). Uji Stabilitas Fisik dan Kimia Sediaan Krim Ekstrak Etanol Tumbuhan Paku (*Nephrolepis falcata (Cav.) C. Chr.*). Fakultas Kedokteran

dan Ilmu Kesehatan Jakarta.

Zahiruddin, W., Ariesta, A., & Salamah, E. (2016). Karakteristik Mutu dan Kelarutan Kitosan dari Ampas Silase Kepala Udang Windu (*Penaeus monodon*). *XI*(0251), 140–151.



# LAMPIRAN

## Lampiran 1. Surat Izin Penelitian Eksternal



UNIVERSITAS MUHAMMADIYAH GOMBONG  
LEMBAGA PENELITIAN DAN PENGABDIAN MASYARAKAT  
Sekretariat : Jl. Yos Sudarso no. 461 Gombong, Kebumen Telp. (0287)472433  
Email: lp3mstikesmugo@gmail.com Web: http://unimugo.ac.id/

No : 059.1/IV.3.LPPM/A/II/2023  
Hal : Permohonan Ijin  
Lampiran : -

Gombong, 03 Februari 2023

Kepada :  
Yth. Kepala Laboratorium Universitas Muhammadiyah Gombong  
Di Universitas Muhammadiyah Gombong

Assalamu'alaikum Wr. Wb.

Teriring do'a semoga kita dalam melaksanakan tugas sehari-hari senantiasa mendapat lindungan dari Allah SWT. Aamiin

Sehubungan dengan akan dilaksanakannya penelitian bagi mahasiswa Farmasi Program Sarjana Universitas Muhammadiyah Gombong, dengan ini kami mohon kesediaannya untuk memberikan ijin kepada mahasiswa kami:

Nama : Zalsa Billa  
NIM : C12019061  
Judul Penelitian : Uji Aktivitas Antioksidan Kitosan dari Cangkang Yutuk (Emerita Sp) menggunakan Metode ABTS (2,2 azinobis (3-etylbenzotiazolin)-6-asam sulfonat) dan DPPH (2-2-difenil-1-picrylhydrazyl)

Keperluan : Ijin Penelitian

Demikian atas perhatian dan ijin yang diberikan kami ucapan terima kasih.

Wassalamu'alaikum Wr.Wb.

Kepala LPPM  
Universitas Muhammadiyah Gombong  
  
Amika Dwi Asti, M.Kep

## Lampiran 2. Surat Ijin Penelitian



UNIVERSITAS MUHAMMADIYAH GOMBONG  
LEMBAGA PENELITIAN DAN PENGABDIAN MASYARAKAT  
Sekretariat : Jl. Yos Sudarso no. 461 Gombong, Kebumen Telp. (0287)472433  
Email: lp3mstikesmugo@gmail.com Web: http://unimugo.ac.id/

No : 112.1/IV.3.LPPM/A/III/2023  
Hal : Permohonan Ijin  
Lampiran : -

Gombong, 02 Maret 2023

Kepada :  
Yth. Kepala Laboratorium Universitas Ahmad Dahlan

Assalamu'alaikum Wr. Wb.

Teriring do'a semoga kita dalam melaksanakan tugas sehari-hari senantiasa mendapat lindungan dari Allah SWT. Aamiin

Sehubungan dengan akan dilaksanakannya penelitian bagi mahasiswa Farmasi Program Sarjana Universitas Muhammadiyah Gombong, dengan ini kami mohon kesediaannya untuk memberikan ijin kepada mahasiswa kami:

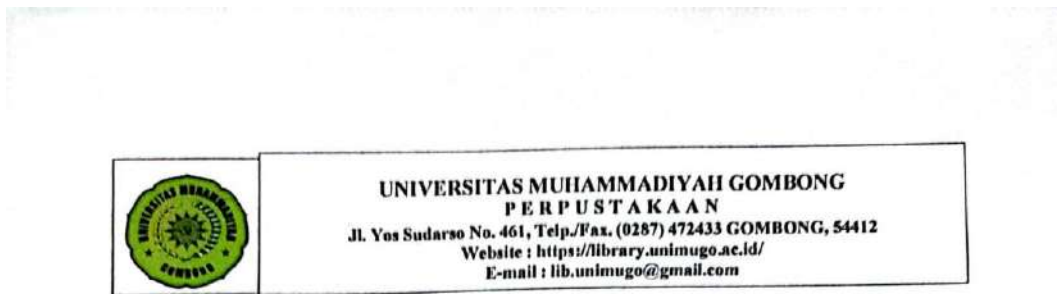
Nama : Zalsa Billa  
NIM : C12019061  
Judul Penelitian : Uji Aktivitas Antioksidan Kitosan dari Cangkang Yutuk (Emerita Sp) menggunakan Metode ABTS (2,2 azinobis (3-etylbenzotiazolin)-6-asam sulfonat) dan DPPH (2-2-difenil-1-picrylhydrazyl)  
Keperluan : Ijin Penelitian

Demikian atas perhatian dan ijin yang diberikan kami ucapan terima kasih.

Wassalamu'alaikum Wr.Wb.

Kepala LPPM  
Universitas Muhammadiyah Gombong  
  
Amika Dwi Asti, M.Kep

### Lampiran 3. Surat Pernyataan Bebas Plagiarisme



#### SURAT PERNYATAAN CEK SIMILARITY/PLAGIASI

Yang bertanda tangan di bawah ini:

Nama : Sawiji, M.Sc  
NIK : 96009  
Jabatan : Kepala UPT Perpustakaan, Multimedia, SIM, dan IT

Menyatakan bahwa karya tulis di bawah ini sudah lolos uji cek similarity/plagiasi:

Judul : Uji Aktivitas Antioksidan Kitosan dari Cangkang Yutuk (*Emerita Sp*) Menggunakan Metode ABTS (2,2 azinobis (3-ethylbenzotiazolin)-6-asam sulfonat) dan DPPH (2,2-difenil-1-picrylhydrazyl)  
Nama : Zalsa Billa  
NIM : C12019061  
Program Studi : S1 Farmasi  
Hasil Cek : 13%

Gombong, 28 Juli 2023

Pustakawan

Mengetahui,

Kepala UPT Perpustakaan, Multimedia, SIM, dan IT

(Pui Sudarmayati, S.Pt.)



#### Lampiran 4. Data Hasil FTIR

Wavenumber	Absorbance	Wavenumber	Absorbance
3995,957825	0,000201	3940,629178	0,00069
3993,908616	0,000272	3938,579969	0,000516
3991,859407	0,000306	3936,53076	0,000514
3989,810198	0,000297	3934,481551	0,000526
3987,760989	0,000257	3932,432342	0,000521
3985,71178	0,000107	3930,383133	0,00064
3983,66257	0	3928,333924	0,000644
3981,613361	0,000107	3926,284714	0,000514
3979,564152	0,000243	3924,235505	0,000538
3977,514943	0,000219	3922,186296	0,000602
3975,465734	0,000162	3920,137087	0,000586
3973,416525	0,000234	3918,087878	0,000647
3971,367316	0,000306	3916,038669	0,000653
3969,318106	0,00031	3913,98946	0,000485
3967,268897	0,00037	3911,94025	0,000341
3965,219688	0,000421	3909,891041	0,000299
3963,170479	0,000351	3907,841832	0,000402
3961,12127	0,000324	3905,792623	0,000652
3959,072061	0,000444	3903,743414	0,000764
3957,022852	0,000497	3901,694205	0,000656
3954,973642	0,000409	3899,644996	0,000536
3952,924433	0,0004	3897,595786	0,000415
3950,875224	0,000562	3895,546577	0,000342
3948,826015	0,00067	3893,497368	0,000416
3946,776806	0,000596	3891,448159	0,00057
3944,727597	0,000614	3889,39895	0,000524
3942,678388	0,000762	3887,349741	0,000348

<b>Wavenumber</b>	<b>Absorbance</b>	<b>Wavenumber</b>	<b>Absorbance</b>
3885,300532	0,000265	3827,922676	0,000524
3883,251322	0,000345	3825,873466	0,000459
3881,202113	0,000453	3823,824257	0,000305
3879,152904	0,000427	3821,775048	0,000162
3877,103695	0,000345	3819,725839	0,000143
3875,054486	0,000303	3817,67663	0,000318
3873,005277	0,000344	3815,627421	0,000602
3870,956068	0,000496	3813,578212	0,000693
3868,906858	0,00067	3811,529003	0,000618
3866,857649	0,000699	3809,479793	0,000564
3864,80844	0,000577	3807,430584	0,00049
3862,759231	0,000502	3805,381375	0,000404
3860,710022	0,000535	3803,332166	0,00049
3858,660813	0,000561	3801,282957	0,000634
3856,611604	0,000594	3799,233748	0,000605
3854,562394	0,000633	3797,184539	0,000519
3852,513185	0,000663	3795,135329	0,000367
3850,463976	0,000667	3793,08612	0,000199
3848,414767	0,000591	3791,036911	0,000297
3846,365558	0,000586	3788,987702	0,000555
3844,316349	0,000701	3786,938493	0,000569
3842,26714	0,000632	3784,889284	0,000357
3840,21793	0,000401	3782,840075	0,000201
3838,168721	0,000348	3780,790865	0,000316
3836,119512	0,000408	3778,741656	0,000609
3834,070303	0,00039	3776,692447	0,000721
3832,021094	0,000392	3774,643238	0,000682
3829,971885	0,000476	3772,594029	0,000683

<b>Wavenumber</b>	<b>Absorbance</b>	<b>Wavenumber</b>	<b>Absorbance</b>
3770,54482	0,00058	3713,166964	0,000886
3768,495611	0,000313	3711,117755	0,001441
3766,446401	0,000269	3709,068545	0,001541
3764,397192	0,00039	3707,019336	0,00153
3762,347983	0,000329	3704,970127	0,001674
3760,298774	0,000122	3702,920918	0,002125
3758,249565	0,000026	3700,871709	0,003022
3756,200356	0,00013	3698,8225	0,003953
3754,151147	0,000261	3696,773291	0,004547
3752,101937	0,000197	3694,724081	0,00473
3750,052728	0	3692,674872	0,004519
3748,003519	0,000159	3690,625663	0,00418
3745,95431	0,000517	3688,576454	0,003941
3743,905101	0,000753	3686,527245	0,003471
3741,855892	0,00073	3684,478036	0,0028
3739,806683	0,000578	3682,428827	0,002352
3737,757473	0,000506	3680,379617	0,002256
3735,708264	0,000696	3678,330408	0,002259
3733,659055	0,000805	3676,281199	0,002216
3731,609846	0,000503	3674,23199	0,002175
3729,560637	0,000147	3672,182781	0,002315
3727,511428	0,000014	3670,133572	0,002717
3725,462219	0,00016	3668,084363	0,002893
3723,413009	0,000405	3666,035153	0,002721
3721,3638	0,000518	3663,985944	0,00257
3719,314591	0,000551	3661,936735	0,002482
3717,265382	0,000503	3659,887526	0,002395
3715,216173	0,000494	3657,838317	0,002363

<b>Wavenumber</b>	<b>Absorbance</b>	<b>Wavenumber</b>	<b>Absorbance</b>
3655,789108	0,002531	3598,411252	0,006634
3653,739899	0,002724	3596,362043	0,006653
3651,690689	0,002768	3594,312834	0,006674
3649,64148	0,003037	3592,263624	0,006765
3647,592271	0,003699	3590,214415	0,006898
3645,543062	0,00417	3588,165206	0,007188
3643,493853	0,004337	3586,115997	0,007718
3641,444644	0,004324	3584,066788	0,007999
3639,395435	0,004391	3582,017579	0,007995
3637,346226	0,004525	3579,96837	0,008046
3635,297016	0,004429	3577,91916	0,008273
3633,247807	0,004227	3575,869951	0,008412
3631,198598	0,004263	3573,820742	0,008411
3629,149389	0,004487	3571,771533	0,008527
3627,10018	0,004453	3569,722324	0,008657
3625,050971	0,004288	3567,673115	0,008864
3623,001762	0,004412	3565,623906	0,009263
3620,952552	0,004783	3563,574696	0,009368
3618,903343	0,005059	3561,525487	0,009312
3616,854134	0,005205	3559,476278	0,009502
3614,804925	0,005445	3557,427069	0,009938
3612,755716	0,005742	3555,37786	0,010351
3610,706507	0,005926	3553,328651	0,010537
3608,657298	0,005959	3551,279442	0,010485
3606,608088	0,005994	3549,230232	0,010438
3604,558879	0,006233	3547,181023	0,010606
3602,50967	0,006552	3545,131814	0,010917
3600,460461	0,006658	3543,082605	0,011157

<b>Wavenumber</b>	<b>Absorbance</b>	<b>Wavenumber</b>	<b>Absorbance</b>
3541,033396	0,011368	3483,65554	0,016667
3538,984187	0,01171	3481,606331	0,017012
3536,934978	0,012086	3479,557122	0,017001
3534,885768	0,012374	3477,507913	0,016906
3532,836559	0,012568	3475,458703	0,017073
3530,78735	0,01265	3473,409494	0,017412
3528,738141	0,01272	3471,360285	0,017711
3526,688932	0,012946	3469,311076	0,018057
3524,639723	0,013311	3467,261867	0,018331
3522,590514	0,013614	3465,212658	0,018292
3520,541304	0,013673	3463,163449	0,018252
3518,492095	0,013616	3461,114239	0,018357
3516,442886	0,013758	3459,06503	0,018442
3514,393677	0,014095	3457,015821	0,018586
3512,344468	0,014343	3454,966612	0,018828
3510,295259	0,014464	3452,917403	0,019148
3508,24605	0,014603	3450,868194	0,019434
3506,19684	0,014733	3448,818985	0,019587
3504,147631	0,014818	3446,769775	0,019658
3502,098422	0,015011	3444,720566	0,019714
3500,049213	0,015355	3442,671357	0,019833
3498,000004	0,015668	3440,622148	0,019936
3495,950795	0,015949	3438,572939	0,019911
3493,901586	0,016204	3436,52373	0,019947
3491,852376	0,016253	3434,474521	0,020128
3489,803167	0,016069	3432,425311	0,020295
3487,753958	0,015943	3430,376102	0,020458
3485,704749	0,016181	3428,326893	0,020635

Wavenumber	Absorbance	Wavenumber	Absorbance
3426,277684	0,020719	3368,899828	0,022747
3424,228475	0,0208	3366,850619	0,022841
3422,179266	0,021035	3364,80141	0,022931
3420,130057	0,0213	3362,752201	0,023012
3418,080847	0,021377	3360,702991	0,023108
3416,031638	0,021349	3358,653782	0,023079
3413,982429	0,021348	3356,604573	0,02296
3411,93322	0,021318	3354,555364	0,022988
3409,884011	0,021356	3352,506155	0,023091
3407,834802	0,021623	3350,456946	0,023073
3405,785593	0,02198	3348,407737	0,023006
3403,736383	0,022173	3346,358527	0,023033
3401,687174	0,022135	3344,309318	0,023018
3399,637965	0,021993	3342,260109	0,022812
3397,588756	0,021903	3340,2109	0,022618
3395,539547	0,021891	3338,161691	0,022681
3393,490338	0,021943	3336,112482	0,022904
3391,441129	0,022107	3334,063273	0,022931
3389,391919	0,022407	3332,014063	0,022742
3387,34271	0,022702	3329,964854	0,022649
3385,293501	0,022776	3327,915645	0,022641
3383,244292	0,022608	3325,866436	0,022639
3381,195083	0,022422	3323,817227	0,022736
3379,145874	0,022454	3321,768018	0,022822
3377,096665	0,022627	3319,718809	0,022779
3375,047455	0,022748	3317,669599	0,022752
3372,998246	0,022768	3315,62039	0,022793
3370,949037	0,022732	3313,571181	0,022768

<b>Wavenumber</b>	<b>Absorbance</b>	<b>Wavenumber</b>	<b>Absorbance</b>
3311,521972	0,022717	3254,144116	0,022236
3309,472763	0,022699	3252,094907	0,021924
3307,423554	0,022638	3250,045698	0,021808
3305,374345	0,022595	3247,996489	0,022008
3303,325136	0,022654	3245,94728	0,022162
3301,275926	0,022741	3243,89807	0,022016
3299,226717	0,022791	3241,848861	0,021726
3297,177508	0,022822	3239,799652	0,021443
3295,128299	0,022849	3237,750443	0,021329
3293,07909	0,022866	3235,701234	0,021362
3291,029881	0,022846	3233,652025	0,021298
3288,980672	0,022797	3231,602816	0,021148
3286,931462	0,022706	3229,553606	0,021102
3284,882253	0,022674	3227,504397	0,021087
3282,833044	0,022757	3225,455188	0,02099
3280,783835	0,022774	3223,405979	0,020863
3278,734626	0,022681	3221,35677	0,020797
3276,685417	0,022598	3219,307561	0,02082
3274,636208	0,022597	3217,258352	0,020778
3272,586998	0,022654	3215,209142	0,020717
3270,537789	0,022748	3213,159933	0,020701
3268,48858	0,022816	3211,110724	0,020479
3266,439371	0,022693	3209,061515	0,020201
3264,390162	0,022488	3207,012306	0,020186
3262,340953	0,022475	3204,963097	0,020173
3260,291744	0,022632	3202,913888	0,019949
3258,242534	0,022687	3200,864678	0,019744
3256,193325	0,022525	3198,815469	0,019656

<b>Wavenumber</b>	<b>Absorbance</b>	<b>Wavenumber</b>	<b>Absorbance</b>
3196,76626	0,019593	3139,388404	0,016615
3194,717051	0,019565	3137,339195	0,016641
3192,667842	0,019526	3135,289986	0,016583
3190,618633	0,019467	3133,240777	0,016405
3188,569424	0,019447	3131,191568	0,016162
3186,520214	0,019407	3129,142359	0,015972
3184,471005	0,019413	3127,093149	0,015851
3182,421796	0,019478	3125,04394	0,015782
3180,372587	0,019362	3122,994731	0,015789
3178,323378	0,019034	3120,945522	0,015872
3176,274169	0,018752	3118,896313	0,015949
3174,22496	0,018583	3116,847104	0,015924
3172,17575	0,018422	3114,797895	0,015857
3170,126541	0,018294	3112,748685	0,015744
3168,077332	0,018174	3110,699476	0,015492
3166,028123	0,018037	3108,650267	0,015289
3163,978914	0,0179	3106,601058	0,015285
3161,929705	0,017754	3104,551849	0,015341
3159,880496	0,017665	3102,50264	0,015422
3157,831286	0,017613	3100,453431	0,015516
3155,782077	0,017463	3098,404221	0,015457
3153,732868	0,01726	3096,355012	0,015293
3151,683659	0,017111	3094,305803	0,015154
3149,63445	0,016994	3092,256594	0,01503
3147,585241	0,016985	3090,207385	0,014962
3145,536032	0,017009	3088,158176	0,014924
3143,486822	0,016851	3086,108967	0,014832
3141,437613	0,016652	3084,059757	0,014716

<b>Wavenumber</b>	<b>Absorbance</b>	<b>Wavenumber</b>	<b>Absorbance</b>
3082,010548	0,014616	3024,632692	0,012214
3079,961339	0,014509	3022,583483	0,01215
3077,91213	0,014431	3020,534274	0,012085
3075,862921	0,014391	3018,485065	0,012169
3073,813712	0,014326	3016,435856	0,012266
3071,764503	0,014206	3014,386647	0,012275
3069,715293	0,013978	3012,337437	0,012229
3067,666084	0,013724	3010,288228	0,012153
3065,616875	0,0136	3008,239019	0,01211
3063,567666	0,013548	3006,18981	0,012002
3061,518457	0,01345	3004,140601	0,011762
3059,469248	0,013325	3002,091392	0,011547
3057,420039	0,013249	3000,042183	0,01148
3055,370829	0,013276	2997,992973	0,011543
3053,32162	0,013331	2995,943764	0,011591
3051,272411	0,013214	2993,894555	0,011586
3049,223202	0,012964	2991,845346	0,011583
3047,173993	0,012784	2989,796137	0,011598
3045,124784	0,012719	2987,746928	0,011701
3043,075575	0,012683	2985,697719	0,011869
3041,026365	0,012571	2983,648509	0,011978
3038,977156	0,01245	2981,5993	0,012078
3036,927947	0,012375	2979,550091	0,012243
3034,878738	0,012363	2977,500882	0,01243
3032,829529	0,01243	2975,451673	0,012658
3030,78032	0,012354	2973,402464	0,012957
3028,731111	0,012158	2971,353255	0,013275
3026,681901	0,012144	2969,304046	0,01358

Wavenumber	Absorbance	Wavenumber	Absorbance
2967,254836	0,013967	2909,87698	0,026785
2965,205627	0,014566	2907,827771	0,024629
2963,156418	0,015313	2905,778562	0,023125
2961,107209	0,015926	2903,729353	0,022016
2959,058	0,016251	2901,680144	0,02106
2957,008791	0,016414	2899,630935	0,020318
2954,959582	0,016519	2897,581726	0,019763
2952,910372	0,01643	2895,532516	0,019265
2950,861163	0,016133	2893,483307	0,018746
2948,811954	0,016008	2891,434098	0,018173
2946,762745	0,016194	2889,384889	0,017737
2944,713536	0,016483	2887,33568	0,017485
2942,664327	0,016858	2885,286471	0,017281
2940,615118	0,017414	2883,237262	0,017149
2938,565908	0,01818	2881,188052	0,017078
2936,516699	0,019205	2879,138843	0,017041
2934,46749	0,020516	2877,089634	0,017195
2932,418281	0,021994	2875,040425	0,017523
2930,369072	0,023589	2872,991216	0,01766
2928,319863	0,02542	2870,942007	0,017471
2926,270654	0,027419	2868,892798	0,017294
2924,221444	0,029444	2866,843588	0,017344
2922,172235	0,031485	2864,794379	0,017552
2920,123026	0,033286	2862,74517	0,017962
2918,073817	0,034283	2860,695961	0,018633
2916,024608	0,033958	2858,646752	0,019527
2913,975399	0,03218	2856,597543	0,02081
2911,92619	0,029492	2854,548334	0,022747

<b>Wavenumber</b>	<b>Absorbance</b>	<b>Wavenumber</b>	<b>Absorbance</b>
2852,499124	0,025162	2795,121269	0,009086
2850,449915	0,026984	2793,072059	0,008901
2848,400706	0,026824	2791,02285	0,008824
2846,351497	0,024558	2788,973641	0,008843
2844,302288	0,021513	2786,924432	0,008784
2842,253079	0,01887	2784,875223	0,008618
2840,20387	0,016878	2782,826014	0,008385
2838,15466	0,015381	2780,776805	0,008176
2836,105451	0,014264	2778,727595	0,008108
2834,056242	0,013456	2776,678386	0,008139
2832,007033	0,012842	2774,629177	0,008157
2829,957824	0,01231	2772,579968	0,008121
2827,908615	0,011891	2770,530759	0,008016
2825,859406	0,011576	2768,48155	0,007918
2823,810196	0,011243	2766,432341	0,007878
2821,760987	0,010917	2764,383131	0,007791
2819,711778	0,01065	2762,333922	0,007677
2817,662569	0,010439	2760,284713	0,007659
2815,61336	0,010304	2758,235504	0,007706
2813,564151	0,010219	2756,186295	0,007746
2811,514942	0,010121	2754,137086	0,007737
2809,465732	0,009991	2752,087877	0,007659
2807,416523	0,009872	2750,038667	0,007602
2805,367314	0,009761	2747,989458	0,007584
2803,318105	0,009655	2745,940249	0,007539
2801,268896	0,009572	2743,89104	0,007518
2799,219687	0,009444	2741,841831	0,007541
2797,170478	0,009266	2739,792622	0,007487

<b>Wavenumber</b>	<b>Absorbance</b>	<b>Wavenumber</b>	<b>Absorbance</b>
2737,743413	0,007329	2680,365557	0,006407
2735,694203	0,0072	2678,316347	0,00644
2733,644994	0,007145	2676,267138	0,006493
2731,595785	0,007106	2674,217929	0,006512
2729,546576	0,007076	2672,16872	0,006516
2727,497367	0,007149	2670,119511	0,006533
2725,448158	0,007281	2668,070302	0,006589
2723,398949	0,007253	2666,021093	0,006659
2721,349739	0,007084	2663,971883	0,006733
2719,30053	0,006913	2661,922674	0,006726
2717,251321	0,006756	2659,873465	0,00661
2715,202112	0,006691	2657,824256	0,006565
2713,152903	0,006751	2655,775047	0,006636
2711,103694	0,006863	2653,725838	0,006679
2709,054485	0,00697	2651,676629	0,006628
2707,005275	0,006975	2649,627419	0,006529
2704,956066	0,006903	2647,57821	0,006463
2702,906857	0,006823	2645,529001	0,006509
2700,857648	0,006762	2643,479792	0,006585
2698,808439	0,006757	2641,430583	0,006542
2696,75923	0,006754	2639,381374	0,006469
2694,710021	0,00674	2637,332165	0,006459
2692,660811	0,006722	2635,282955	0,006404
2690,611602	0,006644	2633,233746	0,006267
2688,562393	0,006568	2631,184537	0,006183
2686,513184	0,006559	2629,135328	0,006221
2684,463975	0,006538	2627,086119	0,00632
2682,414766	0,006463	2625,03691	0,006371

<b>Wavenumber</b>	<b>Absorbance</b>	<b>Wavenumber</b>	<b>Absorbance</b>
2622,987701	0,006332	2565,609845	0,005925
2620,938492	0,006242	2563,560636	0,006034
2618,889282	0,006089	2561,511426	0,006186
2616,840073	0,005971	2559,462217	0,006234
2614,790864	0,00604	2557,413008	0,006088
2612,741655	0,006262	2555,363799	0,00597
2610,692446	0,006507	2553,31459	0,006011
2608,643237	0,00659	2551,265381	0,006079
2606,594028	0,00645	2549,216172	0,006197
2604,544818	0,006269	2547,166962	0,00634
2602,495609	0,006121	2545,117753	0,006259
2600,4464	0,005941	2543,068544	0,006053
2598,397191	0,005892	2541,019335	0,00594
2596,347982	0,005991	2538,970126	0,006
2594,298773	0,005998	2536,920917	0,006304
2592,249564	0,005988	2534,871708	0,006672
2590,200354	0,005975	2532,822498	0,006936
2588,151145	0,005847	2530,773289	0,007068
2586,101936	0,005831	2528,72408	0,00709
2584,052727	0,005969	2526,674871	0,007135
2582,003518	0,00603	2524,625662	0,007229
2579,954309	0,00595	2522,576453	0,007412
2577,9051	0,005785	2520,527244	0,007726
2575,85589	0,005708	2518,478034	0,007945
2573,806681	0,005783	2516,428825	0,007998
2571,757472	0,005846	2514,379616	0,008076
2569,708263	0,005837	2512,330407	0,008141
2567,659054	0,005853	2510,281198	0,008022

<b>Wavenumber</b>	<b>Absorbance</b>	<b>Wavenumber</b>	<b>Absorbance</b>
2508,231989	0,007842	2450,854133	0,004282
2506,18278	0,007775	2448,804924	0,004278
2504,13357	0,007546	2446,755715	0,004234
2502,084361	0,007115	2444,706505	0,004174
2500,035152	0,006919	2442,657296	0,004105
2497,985943	0,006954	2440,608087	0,004102
2495,936734	0,006922	2438,558878	0,004135
2493,887525	0,006699	2436,509669	0,004012
2491,838316	0,006395	2434,46046	0,003781
2489,789106	0,006177	2432,411251	0,003575
2487,739897	0,006033	2430,362041	0,003451
2485,690688	0,005858	2428,312832	0,003457
2483,641479	0,005626	2426,263623	0,003553
2481,59227	0,005456	2424,214414	0,003624
2479,543061	0,005334	2422,165205	0,003623
2477,493852	0,005212	2420,115996	0,003576
2475,444642	0,005105	2418,066787	0,003485
2473,395433	0,00496	2416,017577	0,003352
2471,346224	0,004859	2413,968368	0,003262
2469,297015	0,004805	2411,919159	0,003358
2467,247806	0,004633	2409,86995	0,00357
2465,198597	0,004457	2407,820741	0,003651
2463,149388	0,004427	2405,771532	0,003536
2461,100179	0,00444	2403,722323	0,003317
2459,050969	0,00446	2401,673113	0,003115
2457,00176	0,004482	2399,623904	0,003074
2454,952551	0,004433	2397,574695	0,003213
2452,903342	0,004328	2395,525486	0,003346

<b>Wavenumber</b>	<b>Absorbance</b>	<b>Wavenumber</b>	<b>Absorbance</b>
2393,476277	0,003295	2336,098421	0,0038
2391,427068	0,003139	2334,049212	0,004092
2389,377859	0,003052	2332,000003	0,004163
2387,328649	0,003102	2329,950793	0,004154
2385,27944	0,003291	2327,901584	0,004432
2383,230231	0,003537	2325,852375	0,005133
2381,181022	0,003667	2323,803166	0,005674
2379,131813	0,003576	2321,753957	0,005491
2377,082604	0,003467	2319,704748	0,004913
2375,033395	0,003572	2317,655539	0,004338
2372,984185	0,003619	2315,606329	0,003956
2370,934976	0,003428	2313,55712	0,00391
2368,885767	0,003398	2311,507911	0,004028
2366,836558	0,003574	2309,458702	0,004231
2364,787349	0,003571	2307,409493	0,004448
2362,73814	0,00342	2305,360284	0,004398
2360,688931	0,003474	2303,311075	0,004165
2358,639721	0,003829	2301,261865	0,004015
2356,590512	0,004066	2299,212656	0,003978
2354,541303	0,004083	2297,163447	0,004041
2352,492094	0,00424	2295,114238	0,004048
2350,442885	0,004257	2293,065029	0,004019
2348,393676	0,003891	2291,01582	0,00426
2346,344467	0,003422	2288,966611	0,004655
2344,295257	0,003206	2286,917402	0,004727
2342,246048	0,003373	2284,868192	0,004379
2340,196839	0,003555	2282,818983	0,004087
2338,14763	0,003586	2280,769774	0,004043

<b>Wavenumber</b>	<b>Absorbance</b>	<b>Wavenumber</b>	<b>Absorbance</b>
2278,720565	0,004022	2221,342709	0,003916
2276,671356	0,004166	2219,2935	0,003775
2274,622147	0,004333	2217,244291	0,003589
2272,572938	0,00414	2215,195082	0,003434
2270,523728	0,003893	2213,145872	0,003131
2268,474519	0,003808	2211,096663	0,002835
2266,42531	0,003795	2209,047454	0,002777
2264,376101	0,00387	2206,998245	0,003039
2262,326892	0,003883	2204,949036	0,003259
2260,277683	0,003877	2202,899827	0,003341
2258,228474	0,003932	2200,850618	0,003602
2256,179264	0,003866	2198,801408	0,003802
2254,130055	0,003652	2196,752199	0,003525
2252,080846	0,003449	2194,70299	0,003137
2250,031637	0,003429	2192,653781	0,003164
2247,982428	0,003429	2190,604572	0,00348
2245,933219	0,003167	2188,555363	0,003717
2243,88401	0,002969	2186,506154	0,003629
2241,8348	0,00319	2184,456944	0,003477
2239,785591	0,003479	2182,407735	0,003534
2237,736382	0,003654	2180,358526	0,003749
2235,687173	0,003772	2178,309317	0,003796
2233,637964	0,003516	2176,260108	0,0032
2231,588755	0,003095	2174,210899	0,002766
2229,539546	0,003206	2172,16169	0,003477
2227,490336	0,003553	2170,11248	0,004437
2225,441127	0,003587	2168,063271	0,004711
2223,391918	0,003714	2166,014062	0,004829

<b>Wavenumber</b>	<b>Absorbance</b>	<b>Wavenumber</b>	<b>Absorbance</b>
2163,964853	0,004738	2106,586997	0,002449
2161,915644	0,003723	2104,537788	0,002383
2159,866435	0,001921	2102,488579	0,002419
2157,817226	0,000189	2100,43937	0,0025
2155,768016	0	2098,390161	0,002419
2153,718807	0,000963	2096,340951	0,002121
2151,669598	0,001476	2094,291742	0,001908
2149,620389	0,00126	2092,242533	0,002002
2147,571118	0,000839	2090,193324	0,002208
2145,521971	0,000802	2088,144115	0,002368
2143,472762	0,001251	2086,094906	0,002535
2141,423552	0,001823	2084,045697	0,002648
2139,374343	0,00195	2081,996487	0,00271
2137,325134	0,001447	2079,947278	0,002862
2135,275925	0,00092	2077,898069	0,002923
2133,226716	0,000686	2075,84886	0,002685
2131,177507	0,00073	2073,799651	0,002508
2129,128298	0,001092	2071,750442	0,002453
2127,079088	0,001567	2069,701233	0,002177
2125,029879	0,001654	2067,652023	0,002063
2122,98067	0,00143	2065,602814	0,002264
2120,931461	0,001648	2063,553605	0,002395
2118,882252	0,002285	2061,504396	0,002351
2116,833043	0,002767	2059,455187	0,002168
2114,783834	0,002904	2057,405978	0,002016
2112,734625	0,002744	2055,356769	0,001854
2110,685415	0,002548	2053,307559	0,001884
2108,636206	0,002498	2051,25835	0,002266

<b>Wavenumber</b>	<b>Absorbance</b>	<b>Wavenumber</b>	<b>Absorbance</b>
2049,209141	0,002309	1991,831285	0,00169
2047,159932	0,002164	1989,782076	0,001794
2045,110723	0,002672	1987,732867	0,002124
2043,061514	0,003337	1985,683658	0,002302
2041,012305	0,003126	1983,634449	0,002483
2038,963095	0,002156	1981,585239	0,002897
2036,913886	0,0015	1979,53603	0,00268
2034,864677	0,001317	1977,486821	0,001487
2032,815468	0,001105	1975,437612	0,000581
2030,766259	0,001096	1973,388403	0,00024
2028,71705	0,001389	1971,339194	0,000204
2026,667841	0,001415	1969,289985	0,000648
2024,618631	0,000965	1967,240775	0,000951
2022,569422	0,000835	1965,191566	0,000674
2020,520213	0,001331	1963,142357	0,000233
2018,471004	0,001607	1961,093148	0
2016,421795	0,001235	1959,043939	0,000027
2014,372586	0,000739	1956,99473	0,000131
2012,323377	0,000641	1954,945521	0,00032
2010,274167	0,000618	1952,896311	0,000472
2008,224958	0,000351	1950,847102	0,000332
2006,175749	0,000107	1948,797893	0,000266
2004,12654	0,000199	1946,748684	0,000403
2002,077331	0,000665	1944,699475	0,000453
2000,028122	0,001357	1942,650266	0,000441
1997,978913	0,001937	1940,601057	0,000395
1995,929703	0,002013	1938,551848	0,00026
1993,880494	0,001819	1936,502638	0,000184

Wavenumber	Absorbance	Wavenumber	Absorbance
1934,453429	0,000204	1877,075573	0,000374
1932,40422	0,000298	1875,026364	0,000137
1930,355011	0,000576	1872,977155	-0,000054
1928,305802	0,000691	1870,927946	-0,000118
1926,256593	0,00044	1868,878737	-0,000051
1924,207384	0,000305	1866,829528	0,000101
1922,158174	0,000481	1864,780318	0,000282
1920,108965	0,000638	1862,731109	0,000378
1918,059756	0,000711	1860,6819	0,000282
1916,010547	0,000711	1858,632691	0,000159
1913,961338	0,000557	1856,583482	0,000171
1911,912129	0,000524	1854,534273	0,000158
1909,86292	0,000817	1852,485064	0,000038
1907,81371	0,00115	1850,435854	0
1905,764501	0,001177	1848,386645	0,000097
1903,715292	0,000864	1846,337436	0,000256
1901,666083	0,000435	1844,288227	0,00031
1899,616874	0,000256	1842,239018	0,000244
1897,567665	0,000325	1840,189809	0,000268
1895,518456	0,000225	1838,1406	0,000286
1893,469246	0	1836,09139	0,000108
1891,420037	0,000071	1834,042181	-0,000095
1889,370828	0,000375	1831,992972	-0,000131
1887,321619	0,000576	1829,943763	-0,000069
1885,27241	0,000612	1827,894554	0,000008
1883,223201	0,000586	1825,845345	0,000093
1881,173992	0,000563	1823,796136	0,000127
1879,124782	0,000518	1821,746926	0,000044

Wavenumber	Absorbance	Wavenumber	Absorbance
1819,697717	-0,000066	1762,319861	0,000659
1817,648508	-0,00014	1760,270652	0,000468
1815,599299	-0,000049	1758,221443	0,000306
1813,55009	0,000228	1756,172234	0,000283
1811,500881	0,000566	1754,123025	0,000341
1809,451672	0,001024	1752,073816	0,000395
1807,402462	0,001585	1750,024607	0,000366
1805,353253	0,002191	1747,975397	0,000199
1803,304044	0,002868	1745,926188	0,000041
1801,254835	0,00378	1743,876979	0
1799,205626	0,004882	1741,82777	0,000003
1797,156417	0,005668	1739,778561	0,000079
1795,107208	0,005986	1737,729352	0,000089
1793,057998	0,005947	1735,680143	0,000011
1791,008789	0,005411	1733,630933	-0,000032
1788,95958	0,00456	1731,581724	-0,000046
1786,910371	0,003744	1729,532515	-0,000036
1784,861162	0,003008	1727,483306	0,000028
1782,811953	0,002462	1725,434097	0,000032
1780,762744	0,002118	1723,384888	-0,000047
1778,713535	0,001816	1721,335679	-0,000104
1776,664325	0,001537	1719,286469	-0,0001
1774,615116	0,001336	1717,23726	-0,000061
1772,565907	0,001199	1715,188051	0,000033
1770,516698	0,001057	1713,138842	0,000054
1768,467489	0,000885	1711,089633	-0,000052
1766,41828	0,000772	1709,040424	-0,000174
1764,369071	0,00074	1706,991215	-0,000154

Wavenumber	Absorbance	Wavenumber	Absorbance
1704,942005	0,000039	1647,564149	0,013994
1702,892796	0,000215	1645,51494	0,01397
1700,843587	0,000454	1643,465731	0,013672
1698,794378	0,000784	1641,416522	0,01338
1696,745169	0,001082	1639,367313	0,013183
1694,69596	0,001449	1637,318104	0,013114
1692,646751	0,001693	1635,268895	0,013001
1690,597541	0,001961	1633,219685	0,012731
1688,548332	0,002391	1631,170476	0,012503
1686,499123	0,002742	1629,121267	0,012299
1684,449914	0,00319	1627,072058	0,011985
1682,400705	0,003979	1625,022849	0,011572
1680,351496	0,004663	1622,97364	0,011178
1678,302287	0,005236	1620,924431	0,010824
1676,253077	0,005905	1618,875221	0,010411
1674,203868	0,006787	1616,826012	0,009957
1672,154659	0,007628	1614,776803	0,009589
1670,10545	0,008565	1612,727594	0,009153
1668,056241	0,009568	1610,678385	0,008687
1666,007032	0,010207	1608,629176	0,008357
1663,957823	0,010791	1606,579967	0,008216
1661,908613	0,011563	1604,530758	0,008218
1659,859404	0,012204	1602,481548	0,008364
1657,810195	0,012565	1600,432339	0,00863
1655,760986	0,012815	1598,38313	0,009023
1653,711777	0,013217	1596,333921	0,009613
1651,662568	0,013699	1594,284712	0,010416
1649,613359	0,013864	1592,235503	0,011416

<b>Wavenumber</b>	<b>Absorbance</b>	<b>Wavenumber</b>	<b>Absorbance</b>
1590,186294	0,012521	1532,808438	0,056104
1588,137084	0,013739	1530,759228	0,057608
1586,087875	0,015181	1528,710019	0,059001
1584,038666	0,017002	1526,66081	0,061071
1581,989457	0,019125	1524,611601	0,063346
1579,940248	0,021199	1522,562392	0,066043
1577,891039	0,023069	1520,513183	0,069774
1575,84183	0,024659	1518,463974	0,07291
1573,79262	0,025074	1516,414764	0,075804
1571,743411	0,024468	1514,365555	0,078507
1569,694202	0,023328	1512,316346	0,080745
1567,644993	0,022149	1510,267137	0,082862
1565,595784	0,021346	1508,217928	0,085724
1563,546575	0,020715	1506,168719	0,090704
1561,497366	0,020262	1504,11951	0,094019
1559,448156	0,020233	1502,0703	0,0958
1557,398947	0,020829	1500,021091	0,098028
1555,349738	0,021434	1497,971882	0,101215
1553,300529	0,022423	1495,922673	0,104855
1551,25132	0,024151	1493,873464	0,107458
1549,202111	0,0268	1491,824255	0,109597
1547,152902	0,030004	1489,775046	0,112902
1545,103692	0,033778	1487,725836	0,116652
1543,054483	0,03858	1485,676627	0,119518
1541,005274	0,044666	1483,627418	0,12214
1538,956065	0,050868	1481,578209	0,125296
1536,906856	0,053327	1479,529	0,128738
1534,857647	0,054485	1477,479791	0,1321

<b>Wavenumber</b>	<b>Absorbance</b>	<b>Wavenumber</b>	<b>Absorbance</b>
1475,430582	0,135821	1418,052726	0,238697
1473,381372	0,140681	1416,003517	0,245457
1471,332163	0,146054	1413,954307	0,250935
1469,282954	0,149491	1411,905098	0,256916
1467,233745	0,152119	1409,855889	0,262978
1465,184536	0,155612	1407,80668	0,26807
1463,135327	0,159026	1405,757471	0,272458
1461,086118	0,160946	1403,708262	0,276193
1459,036908	0,162827	1401,659053	0,278542
1456,987699	0,167199	1399,609843	0,280422
1454,93849	0,171626	1397,560634	0,28224
1452,889281	0,174053	1395,511425	0,28354
1450,840072	0,176373	1393,462216	0,284003
1448,790863	0,179388	1391,413007	0,283168
1446,741654	0,182837	1389,363798	0,281148
1444,692444	0,1859	1387,314589	0,27838
1442,643235	0,188704	1385,265379	0,274822
1440,594026	0,191412	1383,21617	0,270374
1438,544817	0,194051	1381,166961	0,265041
1436,495608	0,197794	1379,117752	0,258964
1434,446399	0,201538	1377,068543	0,252158
1432,39719	0,204374	1375,019334	0,244001
1430,347981	0,207972	1372,970125	0,234461
1428,298771	0,212242	1370,920915	0,224456
1426,249562	0,216273	1368,871706	0,213744
1424,200353	0,220761	1366,822497	0,202634
1422,151144	0,225479	1364,773288	0,191775
1420,101935	0,230938	1362,724079	0,18016

<b>Wavenumber</b>	<b>Absorbance</b>	<b>Wavenumber</b>	<b>Absorbance</b>
1360,67487	0,168556	1303,297014	0,058664
1358,625661	0,158338	1301,247805	0,056768
1356,576451	0,149007	1299,198595	0,054806
1354,527242	0,140264	1297,149386	0,052705
1352,478033	0,132264	1295,100177	0,050426
1350,428824	0,124943	1293,050968	0,047998
1348,379615	0,118167	1291,001759	0,045601
1346,330406	0,111944	1288,95255	0,04337
1344,281197	0,106305	1286,903341	0,041344
1342,231987	0,101163	1284,854131	0,039538
1340,182778	0,096282	1282,804922	0,037891
1338,133569	0,091778	1280,755713	0,036455
1336,08436	0,087971	1278,706504	0,0352
1334,035151	0,084719	1276,657295	0,033963
1331,985942	0,081884	1274,608086	0,032716
1329,936733	0,079525	1272,558877	0,031601
1327,887523	0,077569	1270,509668	0,030629
1325,838314	0,075921	1268,460458	0,029748
1323,789105	0,074506	1266,411249	0,028968
1321,739896	0,073295	1264,36204	0,028255
1319,690687	0,072175	1262,312831	0,027544
1317,641478	0,070971	1260,263622	0,026793
1315,592269	0,069526	1258,214413	0,02598
1313,543059	0,067858	1256,165204	0,025083
1311,49385	0,06611	1254,115994	0,024063
1309,444641	0,064345	1252,066785	0,022931
1307,395432	0,062506	1250,017576	0,021858
1305,346223	0,060571	1247,968367	0,0209

Wavenumber	Absorbance	Wavenumber	Absorbance
1245,919158	0,020017	1188,541302	0,005817
1243,869949	0,019232	1186,492093	0,005323
1241,82074	0,018542	1184,442884	0,004944
1239,77153	0,017935	1182,393674	0,004634
1237,722321	0,017458	1180,344465	0,004513
1235,673112	0,017069	1178,295256	0,004672
1233,623903	0,016554	1176,246047	0,004959
1231,574694	0,015827	1174,196838	0,005259
1229,525485	0,014947	1172,147629	0,005644
1227,476276	0,014038	1170,09842	0,00615
1225,427066	0,013192	1168,04921	0,006786
1223,377857	0,012425	1166,000001	0,007667
1221,328648	0,011745	1163,950792	0,008837
1219,279439	0,011146	1161,901583	0,01019
1217,23023	0,010565	1159,852374	0,011674
1215,181021	0,010024	1157,803165	0,01321
1213,131812	0,009615	1155,753956	0,014607
1211,082602	0,009376	1153,704746	0,015709
1209,033393	0,00927	1151,655537	0,016429
1206,984184	0,009208	1149,606328	0,016691
1204,934975	0,009142	1147,557119	0,016422
1202,885766	0,009016	1145,50791	0,015597
1200,836557	0,008813	1143,458701	0,014377
1198,787348	0,008545	1141,409492	0,013133
1196,738138	0,008189	1139,360282	0,012157
1194,688929	0,007692	1137,311073	0,011449
1192,63972	0,00707	1135,261864	0,011016
1190,590511	0,006424	1133,212655	0,011003

<b>Wavenumber</b>	<b>Absorbance</b>	<b>Wavenumber</b>	<b>Absorbance</b>
1131,163446	0,011311	1073,78559	0,04897
1129,114237	0,011771	1071,736381	0,050074
1127,065028	0,012494	1069,687172	0,051206
1125,015818	0,013513	1067,637963	0,052305
1122,966609	0,014691	1065,588753	0,053098
1120,9174	0,016005	1063,539544	0,053509
1118,868191	0,017527	1061,490335	0,053651
1116,818982	0,019266	1059,441126	0,053554
1114,769773	0,021028	1057,391917	0,053158
1112,720564	0,022508	1055,342708	0,052488
1110,671354	0,02357	1053,293499	0,051677
1108,622145	0,024325	1051,244289	0,050908
1106,572936	0,024943	1049,19508	0,050327
1104,523727	0,025505	1047,145871	0,050046
1102,474518	0,026118	1045,096662	0,050226
1100,425309	0,026984	1043,047453	0,050974
1098,3761	0,02812	1040,998244	0,052175
1096,326891	0,029384	1038,949035	0,053659
1094,277681	0,030785	1036,899825	0,05544
1092,228472	0,03243	1034,850616	0,057497
1090,179263	0,034355	1032,801407	0,059567
1088,130054	0,036463	1030,752198	0,061374
1086,080845	0,038556	1028,702989	0,062718
1084,031636	0,040597	1026,65378	0,063434
1081,982427	0,042605	1024,604571	0,063532
1079,933217	0,044458	1022,555361	0,063153
1077,884008	0,046148	1020,506152	0,062455
1075,834799	0,047684	1018,456943	0,061647

<b>Wavenumber</b>	<b>Absorbance</b>	<b>Wavenumber</b>	<b>Absorbance</b>
1016,407734	0,060886	959,029878	0,024547
1014,358525	0,060222	956,980669	0,023958
1012,309316	0,059665	954,93146	0,023469
1010,260107	0,05912	952,882251	0,023022
1008,210897	0,058478	950,833041	0,022649
1006,161688	0,057649	948,783832	0,022223
1004,112479	0,056516	946,734623	0,021711
1002,06327	0,055209	944,685414	0,021189
1000,014061	0,054024	942,636205	0,020561
997,964852	0,052993	940,586996	0,019649
995,915643	0,052034	938,537787	0,018425
993,866433	0,051137	936,488577	0,016997
991,817224	0,050108	934,439368	0,015456
989,768015	0,048847	932,390159	0,013879
987,718806	0,047437	930,34095	0,012415
985,669597	0,045818	928,291741	0,011008
983,620388	0,044021	926,242532	0,009611
981,571179	0,042145	924,193323	0,008427
979,521969	0,040148	922,144114	0,007448
977,47276	0,038059	920,094904	0,006428
975,423551	0,036046	918,045695	0,005309
973,374342	0,0342	915,996486	0,004276
971,325133	0,032469	913,947277	0,00351
969,275924	0,030775	911,898068	0,003105
967,226715	0,029229	909,848859	0,003022
965,177505	0,027903	907,79965	0,003102
963,128296	0,026639	905,75044	0,003231
961,079087	0,025451	903,701231	0,003409

Wavenumber	Absorbance	Wavenumber	Absorbance
901,652022	0,003468	844,274166	0,011008
899,602813	0,003309	842,224957	0,009123
897,553604	0,00296	840,175748	0,008219
895,504395	0,002315	838,126539	0,00748
893,455186	0,001465	836,07733	0,006695
891,405976	0,000637	834,02812	0,006065
889,356767	0	831,978911	0,00575
887,307558	0,00043	829,929702	0,005513
885,258349	0,004455	827,880493	0,005169
883,20914	0,014825	825,831284	0,00486
881,159931	0,032939	823,782075	0,004554
879,110722	0,058809	821,732866	0,004392
877,061512	0,092032	819,683656	0,004467
875,012303	0,132469	817,634447	0,004495
872,963094	0,173201	815,585238	0,004377
870,913885	0,185762	813,536029	0,004137
868,864676	0,150435	811,48682	0,004053
866,815467	0,098175	809,437611	0,004286
864,766258	0,061281	807,388402	0,004514
862,717048	0,041449	805,339192	0,004384
860,667839	0,030559	803,289983	0,004086
858,61863	0,023891	801,240774	0,00399
856,569421	0,019526	799,191565	0,004016
854,520212	0,016615	797,142356	0,0041
852,471003	0,015048	795,093147	0,004317
850,421794	0,015128	793,043938	0,00461
848,372584	0,015491	790,994728	0,004795
846,323375	0,013856	788,945519	0,004865

<b>Wavenumber</b>	<b>Absorbance</b>	<b>Wavenumber</b>	<b>Absorbance</b>
786,89631	0,005051	729,518454	0,011768
784,847101	0,005316	727,469245	0,0129
782,797892	0,005507	725,420036	0,014213
780,748683	0,005768	723,370827	0,016291
778,699474	0,006044	721,321618	0,019225
776,650264	0,006147	719,272409	0,023079
774,601055	0,006231	717,223199	0,028842
772,551846	0,006364	715,17399	0,036554
770,502637	0,006399	713,124781	0,042669
768,453428	0,006311	711,075572	0,043224
766,404219	0,006292	709,026363	0,039216
764,35501	0,00648	706,977154	0,034698
762,305801	0,006823	704,927945	0,031477
760,256591	0,007177	702,878735	0,029191
758,207382	0,007508	700,829526	0,027633
756,158173	0,007847	698,780317	0,026534
754,108964	0,007965	696,731108	0,025623
752,059755	0,007866	694,681899	0,024983
750,010546	0,007931	692,63269	0,024501
747,961337	0,008196	690,583481	0,023857
745,912127	0,008399	688,534271	0,023344
743,862918	0,008626	686,485062	0,023463
741,813709	0,009008	684,435853	0,023797
739,7645	0,009438	682,386644	0,024074
737,715291	0,009819	680,337435	0,024358
735,666082	0,009905	678,288226	0,024358
733,616873	0,009917	676,239017	0,024478
731,567663	0,010582	674,189807	0,025371

<b>Wavenumber</b>	<b>Absorbance</b>	<b>Wavenumber</b>	<b>Absorbance</b>
672,140598	0,026473	614,762742	0,036335
670,091389	0,026984	612,713533	0,037159
668,04218	0,027432	610,664324	0,037534
665,992971	0,027707	608,615115	0,036916
663,943762	0,027114	606,565906	0,037075
661,894553	0,026847	604,516697	0,037926
659,845343	0,027303	602,467487	0,037585
657,796134	0,027488	600,418278	0,036567
655,746925	0,027257	598,369069	0,036419
653,697716	0,026827	596,31986	0,037331
651,648507	0,026458	594,270651	0,038957
649,599298	0,026537	592,221442	0,040493
647,550089	0,027006	590,172233	0,040986
645,500879	0,027233	588,123024	0,040688
643,45167	0,027145	586,073814	0,040383
641,402461	0,027872	584,024605	0,040432
639,353252	0,029103	581,975396	0,040682
637,304043	0,029644	579,926187	0,04054
635,254834	0,030198	577,876978	0,039456
633,205625	0,031351	575,827769	0,038883
631,156415	0,032683	573,77856	0,040641
629,107206	0,033978	571,72935	0,043439
627,057997	0,034685	569,680141	0,045435
625,008788	0,03404	567,630932	0,047473
622,959579	0,032661	565,581723	0,049545
620,91037	0,032432	563,532514	0,049486
618,861161	0,033898	561,483305	0,049788
616,811951	0,03552	559,434096	0,053055

Wavenumber	Absorbance	Wavenumber	Absorbance
557,384886	0,056293	526,646749	0,049221
555,335677	0,05674	524,59754	0,051885
553,286468	0,055328	522,548331	0,054359
551,237259	0,054767	520,499122	0,051083
549,18805	0,053692	518,449913	0,046124
547,138841	0,051421	516,400704	0,049606
545,089632	0,05264	514,351494	0,060024
543,040422	0,056889	512,302285	0,061446
540,991213	0,056983	510,253076	0,051453
538,942004	0,051844	508,203867	0,044369
536,892795	0,048287	506,154658	0,053842
534,843586	0,046494	504,105449	0,076277
532,794377	0,043251	502,05624	0,077664
530,745168	0,044011	500,00703	0,03592
528,695958	0,047919	497,957821	0

#### Lampiran 4. Perhitungan Rendemen Simplisia

Rendemen Simplisia Cangkang Yutuk (*Emerita sp.*)

Diketahui:

Bobot simplisia basah = 1000 gram

Bobot simplisia kering = 300 gram

$$Rendemen (\%) = \frac{bobot akhir (g)}{bobot awal (g)} \times 100\%$$

$$Rendemen (\%) = \frac{300 \text{ gram}}{1000 \text{ gram}} \times 100\%$$

$$Rendemen (\%) = 30\%$$

## Lampiran 5. Perhitungan Pembuatan Serbuk

Rendemen Serbuk Cangkang Yutuk (*Emerita sp.*)

Bobot kering = 300 gram

Bobot serbuk = 279 gram

$$Rendemen (\%) = \frac{bobot akhir (g)}{bobot awal (g)} \times 100\%$$

$$Rendemen (\%) = \frac{279 \text{ gram}}{300 \text{ gram}} \times 100\%$$

$$Rendemen (\%) = 93\%$$

## Lampiran 6. Pembuatan Kitosan dengan Cangkang Yutuk (*Emerita sp.*)

Rendemen Kitosan dengan Cangkang Yutuk (*Emerita sp.*)

### 1. Demineralisasi

Bobot awal = 100 gram

Bobot akhir = 42,17 gram

$$Rendemen (\%) = \frac{bobot akhir (g)}{bobot awal (g)} \times 100\%$$

$$Rendemen (\%) = \frac{42,17 \text{ gram}}{100 \text{ gram}} \times 100\%$$

$$Rendemen (\%) = 42,17\%$$

### 2. Deproteinasi

Bobot awal = 42,17 gram

Bobot akhir = 15,93 gram

$$Rendemen (\%) = \frac{bobot akhir (g)}{bobot awal (g)} \times 100\%$$

$$Rendemen (\%) = \frac{15,93 \text{ gram}}{42,17 \text{ gram}} \times 100\%$$

$$Rendemen (\%) = 37,78\%$$

### 3. Deasetilisasi

Bobot awal = 15,93 gram

Bobot akhir = 12,59 gram

$$Rendemen (\%) = \frac{bobot akhir (g)}{bobot awal (g)} \times 100\%$$

$$Rendemen (\%) = \frac{12,59 \text{ gram}}{15,93 \text{ gram}} \times 100\%$$

$$Rendemen (\%) = 79,03\%$$

#### Lampiran 7. Perhitungan Sifat Fisika Kitosan Cangkang Yutuk (*Emerita sp.*)

##### 1. Kadar air

$$\% \text{ kadar air} = \frac{x - y}{z} \times 100\%$$

x : berat cawan dan sampel awal

y : berat cawan dan sampel kering

z : berat sampel awal

$$\% \text{ kadar air} = \frac{64,0131 - 64,0060}{(64,0131 - 63,5127)} \times 100\%$$

$$\% \text{ kadar air} = \frac{0,0071}{0,5004} \times 100\%$$

$$\% \text{ kadar air} = 1,4188\%$$

##### 2. Kadar abu

$$\% \text{ kadar abu} = \frac{\text{Massa Abu}}{\text{Massa sampel}} \times 100\%$$

$$\% \text{ kadar abu} = \frac{(38,7436 - 38,7270)}{(39,2105 - 38,7270)} \times 100\%$$

$$\% \text{ kadar abu} = \frac{0,0166}{0,4835} \times 100\%$$

$$\% \text{ kadar abu} = 3,4332\%$$

## **Lampiran 8. Perhitungan Derajat Deasetilisasi**

Diketahui:

$$A_{1655} = 0,012815$$

$$A_{3450} = 0,022736$$

Ditanya: DD kitosan cangkang yutuk (*Emerita sp.*)?

Jawab:

$$DD = 100 - \left( \frac{A_{1655}}{A_{3450}} \times \frac{100}{1,33} \right)$$

$$DD = 100 - \left( \frac{0,012815}{0,022736} \times \frac{100}{1,33} \right)$$

$$DD = 100 - ( 0,563643 \times 75,187969 )$$

$$DD = 100 - 42,379172$$

$$DD = 57,620828$$

## Lampiran 9. Perhitungan Pembuatan Larutan Induk dan Pengenceran Asam Asetat

1. Larutan stok vitamin C 1000 ppm

Diketahui: 1 ppm = 1 $\mu$ g/ml

1 mg = 1000  $\mu$ g

$$\begin{aligned}1000 \text{ ppm} &= \frac{25 \text{ mg (vitamin C)}}{25 \text{ ml (pelarut)}} \\&= \frac{1 \text{ mg (vitamin C)}}{1 \text{ ml (pelarut)}} \\&= 1000 \text{ } \mu\text{g/ml}\end{aligned}$$

2. Larutan stok kitosan 1000 ppm

Diketahui: 1 ppm = 1 $\mu$ g/ml

1 mg = 1000  $\mu$ g

$$\begin{aligned}1000 \text{ ppm} &= \frac{25 \text{ mg (kitosan)}}{25 \text{ ml (pelarut)}} \\&= \frac{1 \text{ mg (kitosan)}}{1 \text{ ml (pelarut)}} \\&= 1000 \text{ } \mu\text{g/ml}\end{aligned}$$

3. Pengenceran Asam Asetat 2%

$$M_1 \times V_1 = M_2 \times V_2$$

Keterangan :

M<sub>1</sub> = Konsentrasi larutan pekat yang tersedia

V<sub>1</sub> = Volume larutan pekat yang dibutuhkan

M<sub>2</sub> = Konsentrasi larutan yang diinginkan

V<sub>2</sub> = Volume larutan yang diinginkan

$$M_1 \times V_1 = M_2 \times V_2$$

$$99,7\% \times V_1 = 2\% \times 250 \text{ ml}$$

$$V_1 = \frac{500 \text{ ml}}{99,7}$$

$$V_1 = 5,015 \text{ ml ad 250 ml}$$

## Lampiran 10. Perhitungan Seri Konsentrasi Vitamin C ABTS

### 1. Seri Konsentrasi 2 ppm

Diketahui:

$$M_1 = 1000 \text{ ppm}$$

$$M_2 = 2 \text{ ppm}$$

$$V_2 = 10 \text{ ml}$$

Ditanya :

$$V_1 = \dots?$$

Jawab :

$$V_1 \times M_1 = V_2 \times M_2$$

$$V_1 \times 1000 \text{ ppm} = 10 \text{ ml} \times 2 \text{ ppm}$$

$$V_1 = \frac{10 \text{ ml} \times 2 \text{ ppm}}{1000}$$

$$V_1 = 0,02 \text{ ml}$$

$$V_1 = 20 \mu\text{l}$$

Jadi, Pembuatan larutan seri konsentrasi 2 ppm diambil masing-masing sebanyak 20  $\mu\text{l}$  larutan stok vitamin C 1000 ppm dan dimasukkan kedalam labu takar 10 ml yang berbeda, kemudian dicukupkan dengan *water for injection* (WFI) hingga 10 ml.

### 2. Seri Konsentrasi 4 ppm

Diketahui:

$$M_1 = 1000 \text{ ppm}$$

$$M_2 = 4 \text{ ppm}$$

$$V_2 = 10 \text{ ml}$$

Ditanya :

$$V_1 = \dots?$$

Jawab :

$$V_1 \times M_1 = V_2 \times M_2$$

$$V_1 \times 1000 \text{ ppm} = 10 \text{ ml} \times 4 \text{ ppm}$$

$$V_1 = \frac{10 \text{ ml} \times 4 \text{ ppm}}{1000}$$

$$V_1 = 0,04 \text{ ml}$$

$$V_1 = 40 \mu\text{l}$$

Jadi, Pembuatan larutan seri konsentrasi *4 ppm* diambil masing-masing sebanyak  $40 \mu\text{l}$  larutan stok vitamin C *1000 ppm* dan dimasukkan kedalam labu takar *10 ml* yang berbeda, kemudian dicukupkan dengan *water for injection* (WFI) hingga *10 ml*.

### 3. Seri Konsentrasi *6 ppm*

Diketahui:

$$M_1 = 1000 \text{ ppm}$$

$$M_2 = 6 \text{ ppm}$$

$$V_2 = 10 \text{ ml}$$

Ditanya :

$$V_1 = \dots \dots \text{?}$$

Jawab :

$$V_1 \times M_1 = V_2 \times M_2$$

$$V_1 \times 1000 \text{ ppm} = 10 \text{ ml} \times 6 \text{ ppm}$$

$$V_1 = \frac{10 \text{ ml} \times 6 \text{ ppm}}{1000}$$

$$V_1 = 0,06 \text{ ml}$$

$$V_1 = 60 \mu\text{l}$$

Jadi, Pembuatan larutan seri konsentrasi *6 ppm* diambil masing-masing sebanyak  $60 \mu\text{l}$  larutan stok vitamin C *1000 ppm* dan dimasukkan kedalam labu takar *10 ml* yang berbeda, kemudian dicukupkan dengan *water for injection* (WFI) hingga *10 ml*.

### 4. Seri Konsentrasi *8 ppm*

Diketahui:

$$M_1 = 1000 \text{ ppm}$$

$$M_2 = 8 \text{ ppm}$$

$$V_2 = 10 \text{ ml}$$

Ditanya :

$$V_1 = \dots?$$

Jawab :

$$V_1 \times M_1 = V_2 \times M_2$$

$$V_1 \times 1000 \text{ ppm} = 10 \text{ ml} \times 8 \text{ ppm}$$

$$V_1 = \frac{10 \text{ ml} \times 8 \text{ ppm}}{1000}$$

$$V_1 = 0,08 \text{ ml}$$

$$V_1 = 80 \mu\text{l}$$

Jadi, Pembuatan larutan seri konsentrasi 8 ppm diambil masing-masing sebanyak 80  $\mu\text{l}$  larutan stok vitamin C 1000 ppm dan dimasukkan kedalam labu takar 10 ml yang berbeda, kemudian dicukupkan dengan *water for injection* (WFI) hingga 10 ml.

5. Seri Konsentrasi 10 ppm

Diketahui:

$$M_1 = 1000 \text{ ppm}$$

$$M_2 = 10 \text{ ppm}$$

$$V_2 = 10 \text{ ml}$$

Ditanya :

$$V_1 = \dots?$$

Jawab :

$$V_1 \times M_1 = V_2 \times M_2$$

$$V_1 \times 1000 \text{ ppm} = 10 \text{ ml} \times 10 \text{ ppm}$$

$$V_1 = \frac{10 \text{ ml} \times 4 \text{ ppm}}{1000}$$

$$V_1 = 0,1 \text{ ml}$$

$$V_1 = 100 \mu\text{l}$$

Jadi, Pembuatan larutan seri konsentrasi 10 ppm diambil masing-masing sebanyak 100  $\mu\text{l}$  larutan stok vitamin C 1000 ppm dan dimasukkan kedalam

labu takar 10 ml yang berbeda, kemudian dicukupkan dengan *water for injection* (WFI) hingga 10 ml.

#### Lampiran 11. Perhitungan Seri Konsentrasi Kitosan ABTS

##### 1. Seri Konsentrasi 250 ppm

Diketahui:

$$M_1 = 1000 \text{ ppm}$$

$$M_2 = 250 \text{ ppm}$$

$$V_2 = 10 \text{ ml}$$

Ditanya :

$$V_1 = \dots?$$

Jawab :

$$V_1 \times M_1 = V_2 \times M_2$$

$$V_1 \times 1000 \text{ ppm} = 10 \text{ ml} \times 250 \text{ ppm}$$

$$V_1 = \frac{10 \text{ ml} \times 250 \text{ ppm}}{1000}$$

$$V_1 = 2,5 \text{ ml}$$

Jadi, Pembuatan larutan seri konsentrasi 250 ppm diambil masing-masing sebanyak 2,5 ml larutan stok kitosan yutuk (*Emerita sp.*) 1000 ppm dan dimasukkan kedalam labu takar 10 ml yang berbeda, kemudian dicukupkan dengan *water for injection* (WFI) hingga 10 ml.

##### 2. Seri Konsentrasi 350 ppm

Diketahui:

$$M_1 = 1000 \text{ ppm}$$

$$M_2 = 350 \text{ ppm}$$

$$V_2 = 10 \text{ ml}$$

Ditanya :

$$V_1 = \dots?$$

Jawab :

$$V_1 \times M_1 = V_2 \times M_2$$

$$V_1 \times 1000 \text{ ppm} = 10 \text{ ml} \times 350 \text{ ppm}$$

$$V_1 = \frac{10 \text{ ml} \times 350 \text{ ppm}}{1000}$$

$$V_1 = 3,5 \text{ ml}$$

Jadi, Pembuatan larutan seri konsentrasi 350 ppm diambil masing-masing sebanyak 3,5 ml larutan stok kitosan yutuk (*Emerita sp.*) 1000 ppm dan dimasukkan kedalam labu takar 10 ml yang berbeda, kemudian dicukupkan dengan *water for injection* (WFI) hingga 10 ml.

### 3. Seri Konsentrasi 450 ppm

Diketahui:

$$M_1 = 1000 \text{ ppm}$$

$$M_2 = 450 \text{ ppm}$$

$$V_2 = 10 \text{ ml}$$

Ditanya :

$$V_1 = \dots \text{?}$$

Jawab :

$$V_1 \times M_1 = V_2 \times M_2$$

$$V_1 \times 1000 \text{ ppm} = 10 \text{ ml} \times 450 \text{ ppm}$$

$$V_1 = \frac{10 \text{ ml} \times 450 \text{ ppm}}{1000}$$

$$V_1 = 4,5 \text{ ml}$$

Jadi, Pembuatan larutan seri konsentrasi 450 ppm diambil masing-masing sebanyak 4,5 ml larutan stok kitosan yutuk (*Emerita sp.*) 1000 ppm dan dimasukkan kedalam labu takar 10 ml yang berbeda, kemudian dicukupkan dengan *water for injection* (WFI) hingga 10 ml.

### 4. Seri Konsentrasi 550 ppm

Diketahui:

$$M_1 = 1000 \text{ ppm}$$

$$M_2 = 550 \text{ ppm}$$

$$V_2 = 10 \text{ ml}$$

Ditanya :

$$V_1 = \dots?$$

Jawab :

$$V_1 \times M_1 = V_2 \times M_2$$

$$V_1 \times 1000 \text{ ppm} = 10 \text{ ml} \times 550 \text{ ppm}$$

$$V_1 = \frac{10 \text{ ml} \times 550 \text{ ppm}}{1000}$$

$$V_1 = 5,5 \text{ ml}$$

Jadi, Pembuatan larutan seri konsentrasi 550 ppm diambil masing-masing sebanyak 5,5 ml larutan stok kitosan yutuk (*Emerita sp.*) 1000 ppm dan dimasukkan kedalam labu takar 10 ml yang berbeda, kemudian dicukupkan dengan *water for injection* (WFI) hingga 10 ml.

##### 5. Seri Konsentrasi 650 ppm

Diketahui:

$$M_1 = 1000 \text{ ppm}$$

$$M_2 = 650 \text{ ppm}$$

$$V_2 = 10 \text{ ml}$$

Ditanya :

$$V_1 = \dots?$$

Jawab :

$$V_1 \times M_1 = V_2 \times M_2$$

$$V_1 \times 1000 \text{ ppm} = 10 \text{ ml} \times 650 \text{ ppm}$$

$$V_1 = \frac{10 \text{ ml} \times 650 \text{ ppm}}{1000}$$

$$V_1 = 6,5 \text{ ml}$$

Jadi, Pembuatan larutan seri konsentrasi 650 ppm diambil masing-masing sebanyak 6,5 ml larutan stok kitosan yutuk (*Emerita sp.*) 1000 ppm dan dimasukkan kedalam labu takar 10 ml yang berbeda, kemudian dicukupkan dengan *water for injection* (WFI) hingga 10 ml.

## Lampiran 12. Perhitungan Seri Konsentrasi Vitamin C DPPH

### 1. Seri Konsentrasi 2 ppm

Diketahui:

$$M_1 = 1000 \text{ ppm}$$

$$M_2 = 2 \text{ ppm}$$

$$V_2 = 10 \text{ ml}$$

Ditanya :

$$V_1 = \dots?$$

Jawab :

$$V_1 \times M_1 = V_2 \times M_2$$

$$V_1 \times 1000 \text{ ppm} = 10 \text{ ml} \times 2 \text{ ppm}$$

$$V_1 = \frac{10 \text{ ml} \times 2 \text{ ppm}}{1000}$$

$$V_1 = 0,02 \text{ ml}$$

$$V_1 = 20 \mu\text{l}$$

Jadi, Pembuatan larutan seri konsentrasi 2 ppm diambil masing-masing sebanyak 20  $\mu\text{l}$  larutan stok vitamin C 1000 ppm dan dimasukkan kedalam labu takar 10 ml yang berbeda, kemudian dicukupkan dengan methanol p.a hingga 10 ml.

### 2. Seri Konsentrasi 4 ppm

Diketahui:

$$M_1 = 1000 \text{ ppm}$$

$$M_2 = 4 \text{ ppm}$$

$$V_2 = 10 \text{ ml}$$

Ditanya :

$$V_1 = \dots?$$

Jawab :

$$V_1 \times M_1 = V_2 \times M_2$$

$$V_1 \times 1000 \text{ ppm} = 10 \text{ ml} \times 4 \text{ ppm}$$

$$V_1 = \frac{10 \text{ ml} \times 4 \text{ ppm}}{1000}$$

$$V_1 = 0,04 \text{ ml}$$

$$V_1 = 40 \mu\text{l}$$

Jadi, Pembuatan larutan seri konsentrasi  $4 \text{ ppm}$  diambil masing-masing sebanyak  $40 \mu\text{l}$  larutan stok vitamin C  $1000 \text{ ppm}$  dan dimasukkan kedalam labu takar  $10 \text{ ml}$  yang berbeda, kemudian dicukupkan dengan methanol p.a hingga  $10 \text{ ml}$ .

### 3. Seri Konsentrasi $6 \text{ ppm}$

Diketahui:

$$M_1 = 1000 \text{ ppm}$$

$$M_2 = 6 \text{ ppm}$$

$$V_2 = 10 \text{ ml}$$

Ditanya :

$$V_1 = \dots \dots \text{?}$$

Jawab :

$$V_1 \times M_1 = V_2 \times M_2$$

$$V_1 \times 1000 \text{ ppm} = 10 \text{ ml} \times 6 \text{ ppm}$$

$$V_1 = \frac{10 \text{ ml} \times 6 \text{ ppm}}{1000}$$

$$V_1 = 0,06 \text{ ml}$$

$$V_1 = 60 \mu\text{l}$$

Jadi, Pembuatan larutan seri konsentrasi  $6 \text{ ppm}$  diambil masing-masing sebanyak  $60 \mu\text{l}$  larutan stok vitamin C  $1000 \text{ ppm}$  dan dimasukkan kedalam labu takar  $10 \text{ ml}$  yang berbeda, kemudian dicukupkan dengan methanol p.a hingga  $10 \text{ ml}$ .

### 4. Seri Konsentrasi $8 \text{ ppm}$

Diketahui:

$$M_1 = 1000 \text{ ppm}$$

$$M_2 = 8 \text{ ppm}$$

$$V_2 = 10 \text{ ml}$$

Ditanya :

$$V_1 = \dots?$$

Jawab :

$$V_1 \times M_1 = V_2 \times M_2$$

$$V_1 \times 1000 \text{ ppm} = 10 \text{ ml} \times 8 \text{ ppm}$$

$$V_1 = \frac{10 \text{ ml} \times 8 \text{ ppm}}{1000}$$

$$V_1 = 0,08 \text{ ml}$$

$$V_1 = 80 \mu\text{l}$$

Jadi, Pembuatan larutan seri konsentrasi 8 ppm diambil masing-masing sebanyak 80  $\mu\text{l}$  larutan stok vitamin C 1000 ppm dan dimasukkan kedalam labu takar 10 ml yang berbeda, kemudian dicukupkan dengan methanol p.a hingga 10 ml.

#### 5. Seri Konsentrasi 10 ppm

Diketahui:

$$M_1 = 1000 \text{ ppm}$$

$$M_2 = 10 \text{ ppm}$$

$$V_2 = 10 \text{ ml}$$

Ditanya :

$$V_1 = \dots?$$

Jawab :

$$V_1 \times M_1 = V_2 \times M_2$$

$$V_1 \times 1000 \text{ ppm} = 10 \text{ ml} \times 10 \text{ ppm}$$

$$V_1 = \frac{10 \text{ ml} \times 10 \text{ ppm}}{1000}$$

$$V_1 = 0,1 \text{ ml}$$

$$V_1 = 100 \mu\text{l}$$

Jadi, Pembuatan larutan seri konsentrasi 10 ppm diambil masing-masing sebanyak 100  $\mu\text{l}$  larutan stok vitamin C 1000 ppm dan dimasukkan kedalam

labu takar 10 ml yang berbeda, kemudian dicukupkan dengan methanol p.a hingga 10 ml.

### Lampiran 13. Perhitungan Seri Konsentrasi Kitosan DPPH

#### 1. Seri Konsentrasi 250 ppm

Diketahui:

$$M_1 = 1000 \text{ ppm}$$

$$M_2 = 250 \text{ ppm}$$

$$V_2 = 10 \text{ ml}$$

Ditanya :

$$V_1 = \dots?$$

Jawab :

$$V_1 \times M_1 = V_2 \times M_2$$

$$V_1 \times 1000 \text{ ppm} = 10 \text{ ml} \times 250 \text{ ppm}$$

$$V_1 = \frac{10 \text{ ml} \times 250 \text{ ppm}}{1000}$$

$$V_1 = 2,5 \text{ ml}$$

Jadi, Pembuatan larutan seri konsentrasi 250 ppm diambil masing-masing sebanyak 2,5 ml larutan stok kitosan yutuk (*Emerita sp.*) 1000 ppm dan dimasukkan kedalam labu takar 10 ml yang berbeda, kemudian dicukupkan dengan methanol p.a hingga 10 ml.

#### 2. Seri Konsentrasi 350 ppm

Diketahui:

$$M_1 = 1000 \text{ ppm}$$

$$M_2 = 350 \text{ ppm}$$

$$V_2 = 10 \text{ ml}$$

Ditanya :

$$V_1 = \dots?$$

Jawab :

$$V_1 \times M_1 = V_2 \times M_2$$

$$V_1 \times 1000 \text{ ppm} = 10 \text{ ml} \times 350 \text{ ppm}$$

$$V_1 = \frac{10 \text{ ml} \times 350 \text{ ppm}}{1000}$$

$$V_1 = 3,5 \text{ ml}$$

Jadi, Pembuatan larutan seri konsentrasi 350 ppm diambil masing-masing sebanyak 3,5 ml larutan stok kitosan yutuk (*Emerita sp.*) 1000 ppm dan dimasukkan kedalam labu takar 10 ml yang berbeda, kemudian dicukupkan dengan methanol p.a hingga 10 ml.

### 3. Seri Konsentrasi 450 ppm

Diketahui:

$$M_1 = 1000 \text{ ppm}$$

$$M_2 = 450 \text{ ppm}$$

$$V_2 = 10 \text{ ml}$$

Ditanya :

$$V_1 = \dots \text{?}$$

Jawab :

$$V_1 \times M_1 = V_2 \times M_2$$

$$V_1 \times 1000 \text{ ppm} = 10 \text{ ml} \times 450 \text{ ppm}$$

$$V_1 = \frac{10 \text{ ml} \times 450 \text{ ppm}}{1000}$$

$$V_1 = 4,5 \text{ ml}$$

Jadi, Pembuatan larutan seri konsentrasi 450 ppm diambil masing-masing sebanyak 4,5 ml larutan stok kitosan yutuk (*Emerita sp.*) 1000 ppm dan dimasukkan kedalam labu takar 10 ml yang berbeda, kemudian dicukupkan dengan methanol p.a hingga 10 ml.

### 4. Seri Konsentrasi 550 ppm

Diketahui:

$$M_1 = 1000 \text{ ppm}$$

$$M_2 = 550 \text{ ppm}$$

$$V_2 = 10 \text{ ml}$$

Ditanya :

$$V_1 = \dots?$$

Jawab :

$$V_1 \times M_1 = V_2 \times M_2$$

$$V_1 \times 1000 \text{ ppm} = 10 \text{ ml} \times 550 \text{ ppm}$$

$$V_1 = \frac{10 \text{ ml} \times 550 \text{ ppm}}{1000}$$

$$V_1 = 5,5 \text{ ml}$$

Jadi, Pembuatan larutan seri konsentrasi 550 ppm diambil masing-masing sebanyak 5,5 ml larutan stok kitosan yutuk (*Emerita sp.*) 1000 ppm dan dimasukkan kedalam labu takar 10 ml yang berbeda, kemudian dicukupkan dengan methanol p.a hingga 10 ml.

#### 5. Seri Konsentrasi 650 ppm

Diketahui:

$$M_1 = 1000 \text{ ppm}$$

$$M_2 = 650 \text{ ppm}$$

$$V_2 = 10 \text{ ml}$$

Ditanya :

$$V_1 = \dots?$$

Jawab :

$$V_1 \times M_1 = V_2 \times M_2$$

$$V_1 \times 1000 \text{ ppm} = 10 \text{ ml} \times 650 \text{ ppm}$$

$$V_1 = \frac{10 \text{ ml} \times 650 \text{ ppm}}{1000}$$

$$V_1 = 6,5 \text{ ml}$$

Jadi, Pembuatan larutan seri konsentrasi 650 ppm diambil masing-masing sebanyak 6,5 ml larutan stok kitosan yutuk (*Emerita sp.*) 1000 ppm dan dimasukkan kedalam labu takar 10 ml yang berbeda, kemudian dicukupkan dengan methanol p.a hingga 10 ml.

## Lampiran 14. Perhitungan Data Hasil Uji Antioksidan Metode ABTS

### 14.1 Perhitungan Uji Antioksidan Vitamin C

$$\% \text{ Inhibisi} = \frac{\text{absorbansi kontrol} - \text{absorbansi sampel}}{\text{absorbansi kontrol}} \times 100\%$$

Absorbansi kontrol= 1,034

$$2 \text{ ppm} = \frac{1,034 - 0,252}{1,034} \times 100\%$$

$$= 75,628\%$$

$$4 \text{ ppm} = \frac{1,034 - 0,165}{1,034} \times 100\%$$

$$= 84,042\%$$

$$6 \text{ ppm} = \frac{1,034 - 0,018}{1,034} \times 100\%$$

$$= 98,259\%$$

$$8 \text{ ppm} = \frac{1,034 - 0,013}{1,034} \times 100\%$$

$$= 98,742\%$$

$$10 \text{ ppm} = \frac{1,034 - 0,007}{1,034} \times 100\%$$

$$= 99,323\%$$

Sehingga hubungan antara Ln konsentrasi dengan % inhibisi didapat persamaan regresi linier berikut:

$$y = 16,297x + 64,298$$

IC<sub>50</sub> didapat dari persamaan regresi linier sebagai berikut:

$$y = bx + a$$

$$y = \text{absorbansi}$$

$$a = \text{slop}$$

$$b = \text{intersep}$$

$$x = \text{konsentrasi}$$

Sehingga didapatkan:

$$y = bx + a$$

$$y = 16,297x + 64,298$$

$$50 = 16,297x + 64,298$$

$$16,297 x = 50 - 64,298$$

$$x = -0,87734$$

$$IC_{50} = \text{anti ln } x$$

$$IC_{50} = 0,415888 \mu\text{g/mL}$$

Jadi, nilai  $IC_{50}$  Vitamin C adalah  $0,415888 \mu\text{g/mL}$

#### 14.2 Perhitungan Uji Aktivitas Antioksidan Kitosan Cangkang Yutuk (*Emerita sp.*)

$$\% \text{ Inhibisi} = \frac{\text{absorbansi kontrol} - \text{absorbansi sampel}}{\text{absorbansi kontrol}} \times 100\%$$

$$\text{Absorbansi kontrol} = 1,034$$

$$250 \text{ ppm} = \frac{1,034 - 0,457}{1,034} \times 100\% \\ = 55,802\%$$

$$350 \text{ ppm} = \frac{1,034 - 0,422}{1,034} \times 100\% \\ = 59,219\%$$

$$450 \text{ ppm} = \frac{1,034 - 0,364}{1,034} \times 100\% \\ = 64,796\%$$

$$550 \text{ ppm} = \frac{1,034 - 0,346}{1,034} \times 100\% \\ = 66,537\%$$

$$650 \text{ ppm} = \frac{1,034 - 0,279}{1,034} \times 100\% \\ = 73,017\%$$

Sehingga hubungan antara  $\ln$  konsentrasi dengan % inhibisi didapat persamaan regresi linier berikut:

$$y = 17,228x + -40,44$$

$IC_{50}$  didapat dari persamaan regresi linier sebagai berikut:

$$y = bx + a$$

y = absorbansi

a = slop

b = intersep

x = konsentrasi

Sehingga didapatkan:

$$y = bx + a$$

$$y = 17,228x + -40,44$$

$$50 = 17,228x + -40,44$$

$$17,228x = 50 + 40,44$$

$$x = 5,249594$$

$$IC_{50} = \text{anti ln } x$$

$$IC_{50} = 190,4889 \mu\text{g/mL}$$

Jadi, nilai  $IC_{50}$  Vitamin C adalah  $190,4889 \mu\text{g/mL}$

## Lampiran 15. Perhitungan Data Hasil Uji Antioksidan Metode DPPH

### 15.1 Perhitungan Uji Antioksidan Vitamin C

$$\% \text{ Inhibisi} = \frac{\text{absorbansi kontrol} - \text{absorbansi sampel}}{\text{absorbansi kontrol}} \times 100\%$$

Absorbansi kontrol = 0,885

$$2 \text{ ppm} = \frac{0,885 - 0,122}{0,885} \times 100\%$$

$$= 86,252\%$$

$$4 \text{ ppm} = \frac{0,885 - 0,113}{0,885} \times 100\%$$

$$= 87,193\%$$

$$6 \text{ ppm} = \frac{0,885 - 0,053}{0,885} \times 100\%$$

$$= 93,935\%$$

$$8 \text{ ppm} = \frac{0,885 - 0,043}{0,885} \times 100\%$$

$$= 95,141\%$$

$$10 \text{ ppm} = \frac{0,885 - 0,031}{0,885} \times 100\%$$

$$= 96,497\%$$

Sehingga hubungan antara Ln konsentrasi dengan % inhibisi didapat persamaan regresi linier berikut:

$$y = 7,0108x + 80,232$$

IC<sub>50</sub> didapat dari persamaan regresi linier sebagai berikut:

$$y = bx + a$$

$$y = \text{absorbansi}$$

$$a = \text{slop}$$

$$b = \text{intersep}$$

$$x = \text{konsentrasi}$$

Sehingga didapatkan:

$$y = bx + a$$

$$y = 7,0108x + 80,232$$

$$50 = 7,0108x + 80,232$$

$$7,0108 x = 50 - 80,232$$

$$x = -4,3122$$

$$IC_{50} = \text{anti ln } x$$

$$IC_{50} = 0,0134 \mu\text{g/mL}$$

Jadi, nilai  $IC_{50}$  Vitamin C adalah  $0,0134 \mu\text{g/mL}$

## 15.2 Perhitungan Uji Aktivitas Antioksidan Kitosan Cangkang Yutuk (*Emerita sp.*)

$$\% \text{ Inhibisi} = \frac{\text{absorbansi kontrol} - \text{absorbansi sampel}}{\text{absorbansi kontrol}} \times 100\%$$

$$\text{Absorbansi kontrol} = 0,885$$

$$250 \text{ ppm} = \frac{0,885 - 0,313}{0,885} \times 100\%$$

$$= 64,632\%$$

$$350 \text{ ppm} = \frac{0,885 - 0,292}{0,885} \times 100\%$$

$$= 66,967\%$$

$$450 \text{ ppm} = \frac{0,885 - 0,247}{0,885} \times 100\%$$

$$= 72,015\%$$

$$550 \text{ ppm} = \frac{0,885 - 0,189}{0,885} \times 100\%$$

$$= 78,644\%$$

$$650 \text{ ppm} = \frac{0,885 - 0,127}{0,885} \times 100\%$$

$$= 85,687\%$$

Sehingga hubungan antara  $\ln$  konsentrasi dengan % inhibisi didapat persamaan regresi linier berikut:

$$y = 21,759x + -58,166$$

$IC_{50}$  didapat dari persamaan regresi linier sebagai berikut:

$$y = bx + a$$

y = absorbansi

a = slop

b = intersep

x = konsentrasi

Sehingga didapatkan:

$$y = bx + a$$

$$y = 21,759x + -58,166$$

$$50 = 21,759x + -58,166$$

$$21,759 x = 50 + 58,166$$

$$x = 4,971092$$

$$IC_{50} = \text{anti ln } x$$

$$IC_{50} = 144,18 \mu\text{g/mL}$$

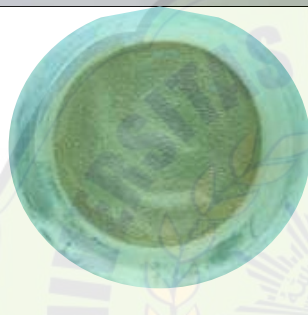
Jadi, nilai  $IC_{50}$  Vitamin C adalah  $144,18 \mu\text{g/mL}$

### Lampiran 16. Dokumentasi Penelitian

Dokumentasi	Keterangan
	Pengumpulan bahan
	Pencucian
	Perebusan

	Pengeringan
	Cangkang yutuk kering
	Penyerbukan cangkang yutuk
	Serbuk cangkang yutuk

	Proses tahapan demineralisasi
	Proses tahapan deproteinasi
	Proses tahapan deasetilasi

	<p>Pengujian FTIR kitosan cangkang yutuk (<i>Emerita sp.</i>)</p>
	<p>Hasil uji organoleptik</p>
	<p>Uji kadar air</p>
	<p>Hasil uji kadar abu</p>

		Kalium persulfate + add 5 ml WFI
		ABTS + add 5 ml WFI
		Larutan ABTS + Larutan kalium persulfate add 25 ml WFI
		Inkubasi suhu selama 12-16 jam

	Setelah diinkubasi
	Kitosan dilarutkan asam asetat 2%
	Vitamin C + ABTS sebelum inkubasi
	Vitamin C + ABTS sesudah inkubasi
	Kitosan + ABTS sebelum inkubasi
	Kitosan + ABTS setelah inkubasi

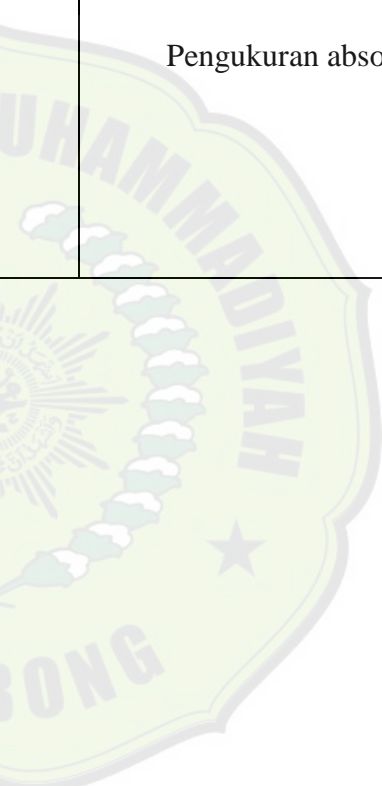
	<p>Pengukuran absorbansi</p>
	<p>Larutan stok DPPH</p>
	<p>Kitosan dilarutkan asam asetat 2%</p>
	<p>Vitamin C + DPPH sebelum inkubasi</p>
	<p>Vitamin C + DPPH setelah inkubasi</p>
	<p>Kitosan + DPPH sebelum diinkubasi</p>



Kitosan + DPPH setelah  
diinkubasi



Pengukuran absorbansi



## Lampiran 17. Loogbook Kegiatan Bimbingan

### 17.1 Pembimbing 1 Apt. Laeli Fitriyati, M.Farm

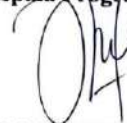
	UNIVERSITAS MUHAMMADIYAH GOMBONG	Nomor	PDN-SKP/12/005
Revisi ke	02		
Tgl. Terbit	18 Agustus 2020		
Halaman			

Nama Mahasiswa : Zalsa Billa  
NIM : C12019061  
Pembimbing : apt. Laeli Fitriyati M. Farm

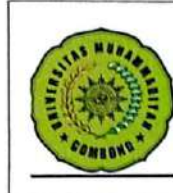
Tanggal bimbingan	Topik/Materi bimbingan	Paraf Mahasiswa	Paraf pembimbing
15 September 2022	Konsultasi Judul		
26 September 2022	Revisi Bab 1,2,3		
25 Oktober 2022	Penambahan identifikasi penyawa kitosan		
2 November 2022	Penambahan karakteristik kitosan		
18 Desember 2022	Revisi Bab 1,2,3		
22 Desember 2022	ACC Bab 1,2,3		

Gombong,.....

Mengetahui  
Kepala Program Studi



Apt.Naelaz Zukhruf WK,M.Pharm.Sci



UNIVERSITAS  
MUHAMMADIYAH  
GOMBONG

Nomor	PDN-SKP/12/005
Revisi ke	02
Tgl. Terbit	18 Agustus 2020
Halaman	

Nama mahasiswa : Zalsa Billa  
NIM : C12019061  
Pembimbing : apt. Laeli Fitriyati, M. Farm

Tanggal bimbingan	Topik/Materi bimbingan	Paraf Mahasiswa	Paraf pembimbing
21 Februari 2023	Konsultasi hasil isolasi kitosin	Jms	
08 Maret 2023	Konsultasi hasil usaha	Jms	
06 Juni 2023	Konsultasi data hasil uji antikarsidaan	Jms	
10 Juli 2023	Revisi Bab 4	Jms	
11 Juli 2023	Konsultasi bab 1-5	Jms	
12 Juli 2023	Acc Bab 1 -5	Jms	

Gombong, 11/07/2023....  
Mengetahui  
Kepala Program Studi

Apt. Naelaz Zukhruf WK, M.Pharm.Sci

17.2 Pembimbing 2 apt. Naelaz Zukhruf Wakhidatul Khiromah, M.Pharm.,Sci



	UNIVERSITAS MUHAMMADIYAH GOMBONG	Nomor	PDN-SKP/12/005
		Revisi ke	02
		Tgl. Terbit	18 Agustus 2020
		Halaman	

Nama Mahasiswa : Zalsa Billa  
NIM : C12019061  
Pembimbing : apt. Naelaz Zukhruf WK, M.Pharm.Sci

Tanggal bimbingan	Topik/Materi bimbingan	Paraf Mahasiswa	Paraf pembimbing
13 Oktober 2022	Konsultasi Judul		
9 November 2022	Revisi Bab 1, 2, 3		
20 November 2022	Revisi Bab 1, 2, 3		
9 Desember 2022	Revisi Bab 1		
26 Desember 2022	Revisi Bab 1, 2, 3		
29 Desember 2022	ACC Bab 1, 2, 3		

Gombong,.....

Mengetahui  
Kepala Program Studi

Apt.Naelaz Zukhruf WK,M.Pharm.Sci

	UNIVERSITAS MUHAMMADIYAH GOMBONG	Nomor Revisi ke Tgl. Terbit Halaman	PDN-SKP/12/005 02 18 Agustus 2020
---	--	--	---

Nama mahasiswa : Zalsa Billa  
 NIM : C12019061  
 Pembimbing : apt. Naelaz Zukhruf WK, M. Pharm. Sci

Tanggal bimbingan	Topik/Materi bimbingan	Paraf Mahasiswa	Paraf pembimbing
10 Juni 2023	Konsultasi hasil uji fitur		
24 Juni 2023	Konsultasi hasil uji aman dan		
06 Juli 2023	Konsultasi hasil Bab 4		
13 Juli 2023	Revisi bab 1 - 3		
21 Juli 2023	Revisi hal 1 - 5		
25 Juli 2023	Ace Bab 1 - 5		

Gombong, 2023

Mengetahui  
Kepala-Program Studi

Apt.Naelaz Zukhruf WK,M.Pharm.Sci